

Un indice qui a le l'indice de Poincaré-Lefschetz pour les homéomorphismes de surfaces

Frédéric Le Roux
 Université Paris Sud
 Bat. 430
 91405 Orsay Cedex FRANCE
 e-mail : leroux@topo.math.u-psud.fr

13th February 2022

Résumé

Nous étudions la dynamique des homéomorphismes de surfaces autour des points fixes isolés dont l'indice de Poincaré-Lefschetz est différent de 1. Nous définissons un invariant de conjugaison, mot cyclique sur l'alphabet $f; !; \#; g$, qui a le l'indice de Poincaré-Lefschetz. Grossièrement, il s'agit de décomposer canoniquement la dynamique en un nombre fini de secteurs hyperboliques, elliptiques ou indifférents, chaque type de secteur contribuant à l'indice de Poincaré-Lefschetz par un terme valant respectivement $-1=2$, $+1=2$ ou 0. Le mot cyclique permet de lire l'existence de structures dynamiques canoniques.

Abstract

We study the dynamics of surface homeomorphisms around isolated fixed points whose Poincaré-Lefschetz index is not equal to 1. We construct a new conjugacy invariant, which is a cyclic word on the alphabet $f; !; \#; g$. This invariant is a refinement of the P.-L. index. It can be seen as a canonical decomposition of the dynamics into a finite number of sectors of hyperbolic, elliptic or indifferent type. The contribution of each type of sector to the P.-L. index is respectively $-1=2$, $+1=2$ and 0. The construction of the invariant implies the existence of some canonical dynamical structures.

Mots-clés Homeomorphism, surface, point fixe, Brouwer, indice, composantes de Reeb.

Keywords Homeomorphism, surface, fixed point, Brouwer, index, Reeb components.

Classification AMS (2000) 37E30, 37B30.

Table des matières

I	Introduction et résultats	3
1	Introduction	3
2	Définitions, résultats	7
II	Squelette de preuve	12
3	Énoncés des lemmes	13
4	Preuve des théorèmes	15
III	Preuves des lemmes	18
5	Module et courbes	19
6	Minoration du module	20
7	Géodésiques	21
8	Droites de Brouwer	25
9	Formule d'indice	26
10	Compatibilité des composantes de Reeb	28
IV	Conséquences dynamiques	30
11	Ouverts dynamiquement cohérents	30
12	Croissants et pétales	32
13	Autres propriétés	33
V	Appendices	35
A	Points fixes d'indice 1	35
B	Ordre cyclique	40

Première partie

Introduction et résultats

1 Introduction

1.1 Résultat principal

Nous nous proposons de construire un invariant pour un certain type de points fixes des systèmes dynamiques topologiques en dimension 2. Plus précisément, nous considérons les données suivantes :

- { une surface orientable S , pas nécessairement compacte ;
- { un point x_0 sur la surface S ;
- { un homéomorphisme h de la surface S dans elle-même, qui préserve l'orientation, et qui fixe le point x_0 .

Nous faisons deux hypothèses importantes :

- { le point x_0 est isolé parmi les points fixes de h ;
- { l'indice de Poincaré-Lefschetz de ce point fixe est différent de 1.

Le principal résultat du texte aura la forme suivante.

Théorème. Il existe un invariant de conjugaison qui associe à ces données :

- { un entier $d \geq 2$ (appelé le module de h en x_0) ;
- { un mot cyclique $M(h)$ sur l'alphabet $\{! ; " ; \# g$.

Le mot $M(h)$ est composé de $2d$ lettres, qui sont alternativement des lettres horizontales et verticales.

À vrai dire, il faut exclure de l'énoncé le cas où S est la sphère et x_0 l'unique point fixe de h (ce qu'on appelle un homéomorphisme de Brouwer). D'autre part, la notion de module se généralise quand l'indice est égal à 1, et le théorème se généralise en indice 1 lorsque le module est supérieur ou égal à 4.

Rappelons la définition informelle de l'indice de Poincaré-Lefschetz du point fixe x_0 . Il s'agit d'un invariant local, on peut se ramener au cas où la surface S est le plan. Puisque le point fixe est supposé isolé, nous pouvons choisir un disque topologique D , contenant le point fixe dans son intérieur, et suffisamment petit pour ne contenir aucun autre point fixe de h . Pour chaque point x du disque D , traçons le vecteur allant du point x à son image $h(x)$: on obtient ainsi un champ de vecteurs sur D , qui ne s'annule qu'au point x_0 . Nous pouvons maintenant évaluer l'indice de ce champ de vecteurs sur le bord de D : lorsque le point x parcourt la circonférence de D , le vecteur reliant x à $h(x)$ effectue un certain nombre de tours, qui donne l'indice du champ de vecteurs. On peut montrer que cet indice ne dépend pas du choix du disque D : on a ainsi de ni l'indice de Poincaré-Lefschetz du point fixe x_0 pour l'homéomorphisme h . Les exemples les plus simples sont dessinés sur la figure 1.

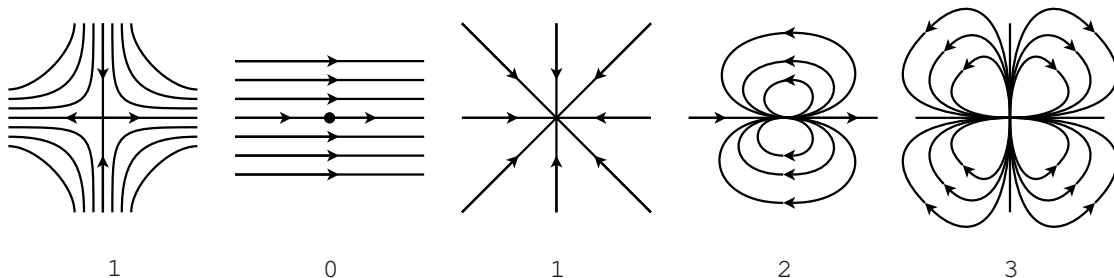


Fig. 1 { Différentes valeurs de l'indice

L'invariant de conjugaison que nous voulons décrire sera plus fin que l'indice de Poincaré-Lefschetz. Pour préciser ceci, il faut penser au mot cyclique $M(h)$ de la manière suivante. On dessine un cercle autour du point fixe x_0 , et on écrit les lettres du mot $M(h)$ le long de ce cercle,

comme sur la figure 2 (il faut s'imaginationner à l'extérieur du cercle, tourne vers le point fixe, écrivant le mot $M(h)$ en faisant le tour du cercle dans le sens trigonométrique, en commençant par la flèche du bas). On a maintenant le dessin d'un champ de vecteurs le long du cercle. L'indice de Poincaré-Lefschetz est alors égal à l'indice de ce champ de vecteurs symbolique, c'est-à-dire au nombre de tours effectués par les flèches-lettres du mot $M(h)$ lorsqu'on a écrit ce mot autour du cercle. Ainsi, le nouvel invariant donne une manière canonique de décomposer le nombre de tours évalué par l'indice de Poincaré-Lefschetz en une somme de quarts-de-tour dans les sens positifs ou négatifs, somme dont les termes sont cycliquement ordonnés.

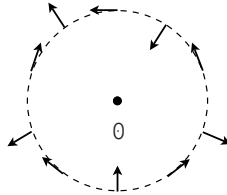


Fig. 2 { Lien avec l'indice de Poincaré-Lefschetz pour le mot $M = (! \# ! \# \#)$ (précisé en section 1.3)

1.2 Esquisse de définition

Esquisons la définition de l'invariant. Pour cela, on se place dans le cadre d'un homéomorphisme du plan qui possède un unique point fixe : nous verrons qu'on peut toujours se ramener à cette situation idéale. Avant tout, rappelons que lorsque l'indice de Poincaré-Lefschetz du point fixe est différent de 1, la théorie de Brouwer donne une première description de la dynamique : toutes les orbites, dans le passé ou le futur, tendent vers le point fixe ou vers l'infini. En particulier, il n'y a que quatre types d'orbites $(h^n(x))_{n \in \mathbb{Z}}$ possibles. Étant donnée une courbe fermée qui entoure le point fixe, on peut décomposer en un nombre fini de morceaux (connexes) libres, c'est-à-dire qui sont chacun disjoints de leur image par h . Lorsque le nombre de morceaux est le plus petit possible, on dit qu'on a une décomposition minimale de γ , et on définit la h -longueur de la courbe γ comme étant précisément le nombre de morceaux d'une décomposition minimale. On peut alors définir le module de h : c'est la plus petite h -longueur parmi toutes les courbes fermées entourant le point fixe. Les courbes réalisant ce minimum sont appelées courbes géodésiques.

Passons à la définition du mot cyclique $M(h)$. On construit d'abord les flèches "horizontales" (! et #). On considère une décomposition minimale d'une courbe géodésique γ , et on va associer une flèche à chacun des sommets, c'est-à-dire des extrémités des morceaux de la décomposition. Appelons γ_1 et γ_2 les deux morceaux situés de part et d'autre du sommet x_1 . Par minimalité, l'image de γ_1 par h rencontre γ_2 , ou l'image de γ_2 rencontre γ_1 . D'autre part, un lemme de Franks dit que ces deux possibilités ne peuvent pas arriver simultanément lorsque l'indice de Poincaré-Lefschetz est différent de 1. La flèche horizontale associée au sommet x_1 décrit alors le sens dans lequel s'effectue la transition. Il reste à construire les flèches "verticales" (" et #), qui vont venir s'intercaler entre deux flèches horizontales successives. En reprenant les notations du paragraphe précédent, on va associer une flèche verticale à chaque morceau de la décomposition ; au final, les trois flèches associées au sommet x_1 et aux deux morceaux qui lui sont adjacents contiendront l'information sur la dynamique de x_1 . Pour fixer les idées, supposons que la transition au sommet x_1 s'effectue de γ_1 vers γ_2 . Alors la flèche associée à γ_1 décrit le passé du point x_1 (par convention, elle vaut # si l'orbite de x_1 vient de l'unique point fixe, et " s'il vient de l'infini) ; tandis que la flèche associée à γ_2 décrit le futur de x_1 . Ainsi, par exemple, le mot (#! ") symbolise une orbite qui vient du point fixe et retourne vers le point fixe après avoir effectué un demi-tour sur sa gauche".

Prouver le théorème énoncé ci-dessus revient maintenant à montrer que le mot $M(h)$ ainsi construit ne dépend pas de la courbe utilisée dans la construction (parmi toutes les courbes réalisant le module de h). Ceci sera fait via la construction de structures dynamiques canoniques qui généralisent les secteurs des points hyperboliques de type selle ou des points paraboliques en dynamique holomorphe. Par analogie au cas des feuilletages (ou des lots), ces structures sont baptisées composantes de Reeb. Notons que dans la section 2, le point de vue est renversé : nous

de nous le mot $M(h)$ à partir de la dynamique dans les bords des composantes de Reeb canoniques, puis nous montrerons l'équivalence avec la définition esquissée ci-dessus en termes de courbes géodésiques.

1.3 Structures dynamiques, sur un exemple

L'invariant permet de lire certaines caractéristiques de la dynamique de h , en précisant la manière dont les quatre types d'orbites sont organisées autour du point fixe. À chaque mot cyclique M correspond un modèle dynamique h_M , qui est en quelque sorte la dynamique la plus simple possible parmi les homéomorphismes h tels que $M(h) = M$. On essaie alors de retrouver pour l'homéomorphisme général h des propriétés dynamiques du modèle $h_{M(h)}$. Les résultats précis seront énoncés dans la partie IV ; nous nous contentons ici d'expliquer certaines conséquences dynamiques sur un exemple. On se restreint encore aux homéomorphismes du plan qui fixent uniquement le point 0. Supposons que l'indice par quarts-de-tour de h soit

$$M = (\# \# \# \# \#) :$$

Nous commençons par dessiner la dynamique du modèle h_M correspondant (figure 3). Le modèle est égal à 5, il y a donc 5 secteurs $S_1; \dots; S_5$, qui correspondent respectivement aux mots partiels $(\# \#)$, $(\# \# \#)$, $(\# \# \# \#)$, $(\# \# \# \# \#)$, $(\# \# \# \# \# \#)$. Les secteurs 1, 3 et 5 sont hyperboliques, le deuxième est elliptique, le quatrième est indifférent.¹ Pour retrouver l'indice de Poincaré-Lefschetz, on additionne les contributions de chacun des secteurs, et on ajoute 1. Les secteurs hyperboliques comptent pour $\pm 1=2$, les secteurs elliptiques pour $\pm 1=2$, les secteurs indifférents comptent pour du beurre. Par conséquent l'indice de Poincaré-Lefschetz du point fixe est ici égal à $(\pm 1=2 + \pm 1=2 \pm 1=2 + 0 \pm 1=2) + 1 = 0$.

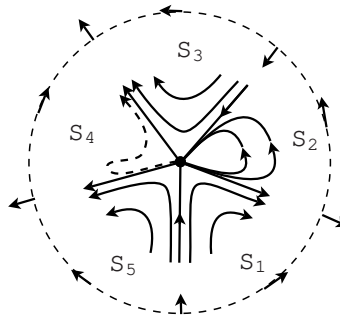


Fig. 3

Pour imaginer un homéomorphisme général h ayant le même indice par quarts-de-tour, il faut compléter le modèle h_M de la façon suivante. On commence par épaissir chaque séparatrice en un secteur de dynamique parabolique (orbites "parallèles"). On complète la topologie des bords des secteurs : par exemple, on peut obtenir des bords qui ne sont plus localement connexes. En fait, on peut compléter à l'infini la dynamique au voisinage de 0 et de l'infini (voir par exemple les figures 10, 13 et 14 du texte [7]). L'homéomorphisme général h hérite d'un certain nombre de propriétés dynamiques du modèle h_M . Voici la plus importante (figure 4). À chaque secteur S_i du modèle correspond canoniquement un ouvert $O(F_i; G_i)$ invariant par h , dont les bords F_i et G_i forment une composante de Reeb (voir la définition 2.3 pour les détails). Les orbites de presque tous les points d'un de ces bords ont une dynamique identique à celle du bord correspondant pour le modèle : ainsi, presque tous les points de F_1 vont de l'infini à 0, et presque tous les points de G_1 vont de 0 à l'infini ; ceci généralise l'existence de séparatrices stables ou instables (proposition 2.5). Entre les ensembles F_i et G_i , la dynamique va globalement dans le même sens orthoradial que la dynamique du modèle dans le secteur S_i : par exemple, il existe une demi-droite topologique qui joint 0 à l'infini, située entre F_1 et G_1 , et qui est poussée par h vers G_1 (c'est ce qu'on appelle une droite de Brouwer). De plus, tout ouvert rencontrant F_1 a ses itérés positifs qui s'accumulent sur G_1 .

¹La construction précise d'un modèle de secteur indifférent sera donnée à la section 4.4.

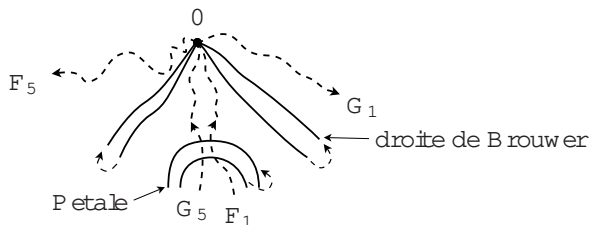


Fig. 4 { Quelques propriétés dynamiques héritées du modèle sur les secteurs S_1 et S_5

Voici quelques propriétés supplémentaires. Premièrement, dans chaque composante de Reeb, il existe un ouvert, de manière canonique, dont les points ont tous le même comportement dynamique, et ce comportement se lit sur le mot M : par exemple, l'ouvert canonique entre F_2 et G_2 est constitué de points dont les orbites vont toutes de 0 à 0, comme dans le secteur S_2 du modèle. On en déduira en particulier que si h préserve la mesure de Lebesgue, alors le modèle $h_{M(h)}$ n'a que des secteurs hyperboliques; le mot $M(h)$ est alors obtenu par répétition du mot élémentaire ("#!"), et on retrouvera naturellement un théorème de Slaminka : l'indice de Poincaré-Lefschetz d'un homéomorphisme conservatif h est inférieur ou égal à 1. Deuxièmement, on peut lire sur le mot $M(h)$ l'existence de pétales. L'un d'eux, associé au sous-mot (!#!) de $M(h)$, est représenté sur la figure 4; il s'agit d'un pétale répulsif basé en l'infini. Cette propriété généralise un énoncé du texte [7] (version topologique du théorème de la leur de Leau-Fatou, p9). Enfin, chaque secteur différent contient au moins une orbite dont la dynamique est opposée à celle des bords : ainsi, dans le secteur correspondant à S_4 , il existe une orbite qui va de l'infini à 0.

1.4 Invariant global vs invariant local

La figure 5 montre deux homéomorphismes du plan, ayant uniquement le point 0, avec un indice égal à 0, qui ont le même germe au voisinage du point fixe. Cependant, leurs indices par quarts-de-tour diffèrent. Ceci montre que cet invariant n'est pas un invariant de la dynamique locale. Il est cependant possible qu'on puisse obtenir un invariant local similaire à l'indice par quart-de-tours; en particulier, les récents travaux de F. R. Ruiz Del Portal et J. M. Salazar vont dans ce sens (voir [1]).

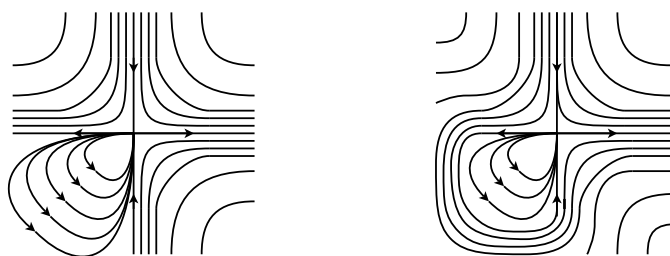


Fig. 5 { Un germe donné peut s'étendre de plusieurs manières, donnant différents indices par quarts-de-tour : ("#!#!") et ("#!#!")

1.5 Changement de cadre

Dans cette section, nous expliquons brièvement un procédé canonique qui produit, à partir des données générales de l'introduction, un homéomorphisme du plan dont 0 est l'unique point fixe, avec un indice différent de 1. Ce procédé permet de se ramener du cadre général à ce cadre plus simple : comme le procédé est canonique, toute construction d'un invariant de conjugaison dans le cadre simple s'étendra automatiquement au cadre général. Nous nous contentons de donner les énoncés, la preuve étant identique à la preuve du théorème d'extension 2.1 du texte [7].

On se donne un homéomorphisme h_0 d'une surface orientable S , et un point fixe isolé x_0 (sans condition d'indice pour le moment). Comme indiqué plus haut, on exclut le cas des

homéomorphismes de Brouwer, où S est la sphère et x_0 l'unique point fixe de h_0 . On considère la surface (non compacte) O obtenue en enlevant à S les points fixes de h_0 . La première proposition est purement topologique, elle donne une correspondance entre le plan et la surface O .

Proposition 1.1. Il existe une unique application $p : \mathbb{R}^2 \rightarrow O$ telle que

1. $p(0) = x_0$;
2. il existe un voisinage U de 0 dans le plan sur lequel la restriction de p est un homéomorphisme de U vers un voisinage V de x_0 dans la surface S ;
3. la restriction de p au plan troué $\mathbb{R}^2 \setminus \{0\}$ est un revêtement sur O .

L'unicité s'entend à isomorphisme de revêtement près (si p_1 et p_2 sont deux telles applications, alors il existe un homéomorphisme g du plan, fixant 0 , préservant l'orientation, tel que $p_2 = g \circ p_1$). On peut ensuite relever la dynamique.

Proposition 1.2. Il existe un unique homéomorphisme h du plan, fixant 0 , qui vérifie

$$p \circ h = h_0 \circ p$$

En particulier,

1. le point 0 est l'unique point fixe de h ;
2. l'homéomorphisme h , au voisinage de 0 , est localement conjugué à l'homéomorphisme h_0 au voisinage de x_0 ;
3. si h_0 préserve l'orientation, alors h aussi;
4. l'indice de Poincaré-Lefschetz de 0 pour h est égal à l'indice de Poincaré-Lefschetz de x_0 pour h_0 .

2 Définitions, résultats

Pour toute cette section, on se donne un homéomorphisme h du plan, préservant l'orientation, fixant le point 0 , sans autre point fixe, et tel que l'indice de Poincaré-Lefschetz du point fixe est différent de 1 . On utilisera les résultats fondamentaux de la théorie de Brouwer : voir [7], section 3.2, et les références qui y sont données. Tous les énoncés se généralisent en indice 1 si le module est assez grand ; cette généralisation est expliquée dans l'appendice A.

2.1 Module

Comme expliqué en introduction, on peut définir le module de h par des considérations sur les courbes qui entourent le point fixe. Nous reviendrons sur cette définition à la section 2.4 ; nous commençons par donner une définition en termes de domaines de translation. Un domaine de translation est un ouvert du plan, connexe et simplement connexe, invariant par h , sur lequel la restriction de h est conjuguée à une translation. Le théorème des translations planes de Brouwer, adapté à notre cadre avec un point fixe, dit notamment que tout point du plan, autre que le point fixe 0 , est dans un domaine de translation (voir Slaminka [14], Guillou [4], ou encore [7], théorème 3.79 p71).

Définition 2.1. Le module de h est le nombre minimal de domaines de translation dont on a besoin pour faire le tour du point fixe :

$$\text{Module}(h) = \min \{ \sum_{j=1}^k \text{Indice}(h|_{D_j}) \mid \bigcup_{j=1}^k D_j \text{ sépare } 0 \text{ et } 1 \text{ en } g \}$$

2.2 Composantes de Reeb

Définition des composantes. On considère la sphère $S^2 = \mathbb{R}^2 \cup \{\infty\}$, compactifiée d'Alexandro du plan. Pour toute partie F de $\mathbb{R}^2 \setminus \{0\}$, on notera $\hat{F} = F \cup \{\infty\}$. Soient F et G deux parties fermées et connexes dans $\mathbb{R}^2 \setminus \{0\}$, disjointes. On suppose que \hat{F} et \hat{G} sont encore connexes (autrement dit, F et G rencontrent tout voisinage de 0 et tout voisinage de 1). Il existe alors exactement deux composantes connexes de $\mathbb{R}^2 \setminus (F \cup G \cup \{0\})$ dont l'adhérence rencontre à la fois

F et G . On les note $O(F;G)$ et $O(G;F)$, de façon à ce que l'ordre cyclique autour de 0 soit donné par

$$F < O(F;G) < G < O(G;F) < F :$$

L'appendice B précise l'existence des ensembles $O(F;G)$, $O(G;F)$, ainsi que la définition de l'ordre cyclique.

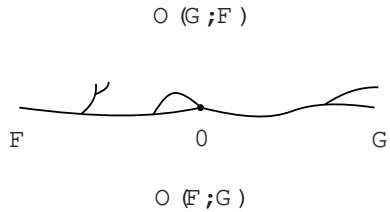


Fig. 6 { Ordre cyclique autour du point x

Definition 2.2. Soit U un ouvert du plan invariant ($h(U) = U$), x et y deux points du plan qui ne sont pas dans la même orbite de h . On dit que le couple $(x;y)$ est singulier via l'ouvert U si pour tous $V_x;V_y$ voisinages respectifs de x et y , il existe un entier positif n tel que

$$h^n(V_x) \setminus V_y \setminus U \neq \emptyset ; :$$

Notons qu'un couple $(x;y)$ est singulier pour l'homéomorphisme h^{-1} si et seulement si $(y;x)$ est singulier pour h .

Definition 2.3. Un couple $(F;G)$ de parties de $\mathbb{R}^2 \setminus \{0\}$ est une composante de Reeb pour h si

- { F et G sont deux parties connexes et fermées dans $\mathbb{R}^2 \setminus \{0\}$;
- { \hat{F} et \hat{G} sont encore connexes;
- { F et G sont invariants par h (c'est-à-dire $h(F) = F, h(G) = G$);
- { il existe $\mu = \pm 1$ tel que tout couple $(x;y) \in F \times G$ est singulier via l'ouvert $O(F;G)$ pour l'homéomorphisme h^μ .

Les ensembles F et G seront appelés bords de la composante de Reeb. On dira que la dynamique de la composante de Reeb $(F;G)$ va de F vers G si $F \times G$ est singulier pour h ($\mu = 1$), et qu'elle va de G vers F dans le cas contraire ($\mu = -1$).

Definition 2.4. Une composante de Reeb $(F;G)$ est dite minimale si F et G sont chacun minimal, pour l'inclusion, dans la collection des parties K fermées dans $\mathbb{R}^2 \setminus \{0\}$, connexes, telles que \hat{K} soit connexe. Autrement dit, $(F;G)$ est minimale si pour toute composante de Reeb $(F^0;G^0)$ telle que $F^0 \subset F$ et $G^0 \subset G$, on a $F^0 = F$ et $G^0 = G$.

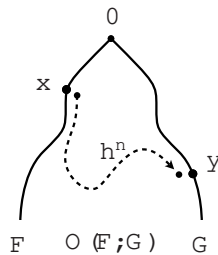


Fig. 7 { Une composante de Reeb

Theorem e d'existence de composantes de Reeb

Theorem e 1. Soit h un homéomorphisme du plan, préservant l'orientation, ayant le point 0, tel que l'indice de Poincaré-Lefschetz du point x est différent de 1. Soit d le module de h .

Alors il existe exactement d composantes de Reeb minimales pour h , que l'on note $(F_1; G_1); \dots; (F_d; G_d)$. De plus, on peut choisir la numérotation de façon à avoir pour ordre cyclique

$$F_1 < 0 < (F_1; G_1) < G_1 < F_2 < \dots < G_d < F_1:$$

Il est clair que la numérotation des composantes de Reeb minimales qui vérifie la condition sur l'ordre cyclique est unique à permutation circulaire près.² Pour tout entier k , les bords G_k et F_{k+1} seront dits adjacents (les indices k et $k+1$ sont considérés modulo d ; en particulier, $G_0 = G_d$). Pour la suite de cette section, on adopte les hypothèses et notations du théorème 1 (notamment pour les énoncés des propositions 2.5 et 2.7 ci-dessous).

Dynamique dans les bords des composantes de Reeb La théorie de Brouwer décrit le comportement des orbites de h (voir par exemple la section 3.2 de [7], et plus particulièrement le corollaire 3.13 p37). Soit x un point du plan. Vue dans la sphère $S^2 = \mathbb{R}^2 \cup \{\infty\}$, la suite des itérés négatifs de x (son orbite passée) tend vers 0 ou l'infini : on note $! (x) \in \{0; \infty\}$ le point limite. On définit de même le point $! (x)$, limite de la suite des itérés positifs du point x . Soit maintenant $! \in \{0; \infty\}$; on notera

$$W_{!} = \{x \in \mathbb{R}^2; ! (x) = !\} \quad \text{et} \quad ! (x) = !g:$$

On définit ainsi quatre ensembles qui forment une partition du plan.

Proposition 2.5. Soit F un bord d'une composante de Reeb $(F; G)$ ou $(G; F)$ minimale pour h . Alors :

- { L'un des deux ensembles $F \setminus W_{0; \infty}$, $F \setminus W_{\infty; 0}$ est vide;
- { L'autre est un ouvert dense de F , et il est connexe;
- { Les ensembles $F \setminus W_{\infty; \infty}$ et $F \setminus W_{0; 0}$ sont fermés.

Définition 2.6. On dira que F est de type dynamique $0; \infty$ si il contient des points qui vont de 0 à l'infini, et de type dynamique $\infty; 0$ dans le cas contraire.

Proposition 2.7. Pour tout entier k , les deux bords adjacents G_k et F_{k+1} sont du même type dynamique.

2.3 Définition dynamique de l'indice

Soit d un entier positif. On appellera mot cyclique d'indice de longueur ℓ une application de \mathbb{N} à valeur dans l'alphabet $\{!; \#; \infty; 0\}$, que l'on notera $M = (m_i)_{i \in \mathbb{Z}}$ et telle que, pour tout i , $m_{i+1} = m_i$. Deux mots cycliques d'indices qui sont égaux à décalage d'indice préservent un mot cyclique : autrement dit, un mot cyclique M est une classe d'équivalence de mots cycliques d'indices modulo la relation

$$(m_i)_{i \in \mathbb{Z}} \sim (m_i^0)_{i \in \mathbb{Z}}, \quad \exists i_0; \exists i; m_{i+i_0} = m_i^0:$$

Un représentant M de la classe d'équivalence du mot M est une indexation de M .

Définition 2.8. Notons $d = \text{Mod}(h)$. On appelle indice par quarts-de-tour de h le mot cyclique $M(h)$ sur l'alphabet $\{!; \#; \infty; 0\}$, de longueur $2d$, dont une indexation $M = (m_i)_{i \in \mathbb{Z}}$ est définie de la manière suivante. Pour tout entier k ,

- { la lettre m_{2k} vaut
 - { $!$ si la dynamique de la composante $(F_k; G_k)$ va de F_k vers G_k ,
 - { ∞ si la dynamique va de G_k vers F_k .
- { la lettre m_{2k+1} vaut
 - { 0 si G_k et F_{k+1} sont de type dynamique $\infty; 0$,
 - { $\#$ si G_k et F_{k+1} sont de type dynamique $0; \infty$.

Les résultats énoncés dans la section 2.2 impliquent clairement le théorème suivant.

Théorème 2. L'indice par quarts-de-tour est un invariant de conjugaison. Plus précisément, soit g un homéomorphisme du plan, préservant l'orientation, $\text{xant } 0$. Soit h vérifiant les hypothèses du théorème 1. Alors les mots cycliques $M(h)$ et $M(ghg^{-1})$ coïncident.

² Ici encore, la notation \sim est précisée dans l'appendice B.

2.4 Définition par les courbes géodésiques

Courbes Dans ce paragraphe, X désigne \mathbb{R}^2 ou bien $\mathbb{R}^2 \setminus \{0\}$. Une courbe de X est une application continue de $[0;1]$ dans X . Une courbe est fermée si $\gamma(1) = \gamma(0)$. On pourra voir une courbe fermée comme une application continue de \mathbb{R} dans X , obtenue en prolongeant γ par périodicité, ou bien comme une application du cercle \mathbb{R}/\mathbb{Z} dans X . Une courbe est un arc si elle est injective (autrement dit, sans point double). Une courbe fermée est simple si le seul point double est $\gamma(0) = \gamma(1)$; on dira aussi que c'est une courbe de Jordan. Pour tous $t_1 < t_2$ dans $[0;1]$, on notera $[\gamma_{t_1} \gamma_{t_2}]$ (ou $[\gamma(t_1) \gamma(t_2)]$) la sous-courbe de γ obtenue en restreignant γ à l'intervalle $[t_1 t_2]$ (et en reparamétrisant pour obtenir une application de $[0;1]$ sur $[0;1]$). Si γ est une courbe fermée, on la voit comme une application 1-périodique de \mathbb{R} , et ceci a encore un sens si $t_1 < t_2$ sont deux réels quelconques.

Soit γ une courbe de Jordan dans $\mathbb{R}^2 \setminus \{0\}$. Il existe alors un unique entier relatif n tel que l'application $\gamma : S^1 \rightarrow \mathbb{R}^2 \setminus \{0\}$ est homotope à l'application $c_n : \mathbb{T} \rightarrow \mathbb{R}^2 \setminus \{0\}$ (on a identifié \mathbb{R}^2 au plan complexe); l'entier n est appelé degré de γ (dans $\mathbb{R}^2 \setminus \{0\}$).

On considère maintenant une courbe fermée γ . Rappelons qu'un ensemble E est libre pour l'homomorphisme h si $h(E)$ est disjoint de E .

Définition 2.9. Une décomposition de γ est la donnée de réels $t_1 < t_2 < \dots < t_{l-1} = t_1 + 1$ tels que chacune des sous-courbes $\gamma_i = [\gamma_{t_i} \gamma_{t_{i+1}}]$, $i = 1; \dots; l$ soit libre pour h . De manière équivalente, on pourra se donner une décomposition en écrivant γ comme la concaténation des sous-courbes γ_i , $i = 1, \dots, l$. L'entier l est appelé longueur de la décomposition. Les points $\gamma(t_i)$ en sont les sommets.

Définition 2.10. La h -longueur de γ est le minimum des longueurs des décompositions de γ . Une décomposition réalisant ce minimum est appelée décomposition minimale.

Module et courbes La proposition suivante fournit une deuxième définition possible du module. Contrairement à la première définition, celle-ci ne nécessite pas l'existence de domaines de translation. Elle permettra donc de généraliser la définition du module lorsque l'indice du point fixe est égal à 1 (voir section A.1 de l'appendice).

Proposition 2.11.

1. Le module de h est égal au minimum des h -longueurs des courbes fermées de degré 1.
2. Il existe une courbe de Jordan qui réalise ce minimum.

Définition 2.12. Une courbe réalisant ce minimum est appelée courbe fermée géodésique.

Indice et courbes L'indice par quarts-de-tour peut être défini en considérant une courbe fermée géodésique γ , et en regardant la dynamique des sommets d'une décomposition de γ . Comme on consigne par quelques définitions combinatoires. On définit l'alpha et l'omega d'une arche verticale :

$$(\#) = ! (") = 0 \quad \text{et} \quad (") = ! (\#) = 1$$

(symboliquement, on voit 0 "en haut" et l'infini "en bas", l' arche " représente une orbite allant de l'infini à 0). Prenons maintenant un mot (non cyclique) de trois lettres $M = (m_{-1} m_0 m_1)$, tel que m_{-1} et m_1 soient des arches verticales, et m_0 soit une arche horizontale (il y a huit mots possibles). On définit l'alpha et l'omega du mot M de la façon suivante :

$$\begin{cases} \text{si } \text{sim}_0 = !, \text{ alors} & (M) = (m_{-1}) \\ & ! (M) = ! (m_1) ; \\ \text{si } \text{sim}_0 = , \text{ alors} & (M) = (m_1) \\ & ! (M) = ! (m_{-1}) : \end{cases}$$

Par exemple, $(\# ! ") = ! (\# ! ") = 0$ (symboliquement, le mot $\# ! "$ représente une orbite qui vient de 0 et redescend vers 0 après avoir fait un demi-tour sur sa gauche). Le théorème 3 caractérise le mot $M(h)$ à partir d'une courbe de Jordan géodésique. Plus précisément, les arches horizontales sont décrites en fonction des transitions entre les morceaux d'une décomposition minimale; et les arches verticales sont décrites en fonction du type d'orbite des sommets. Ceci est illustré par la figure 8.

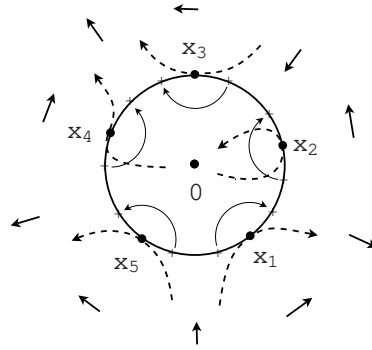


Fig. 8 { Mot et courbe geodesique

Theorem 3. Soit h un homomorphisme du plan, preservant l'orientation, ayant le point 0 , tel que l'indice de Poincaré-Lefschetz du point x est different de 1 . Soit $M(h)$ l'indice par quarts-tour de h . Soit γ une courbe de Jordan geodesique munie d'une decomposition minimale

$$\gamma = \gamma_1 \cup \dots \cup \gamma_d$$

et x_1, \dots, x_d les sommets de cette decomposition (de facon a ce que $\gamma_k = [x_k, x_{k+1}]$). Il existe alors une indexation telle que, pour tout entier k :

1. la lettre m_{2k} est caracterisee par :

$$\begin{cases} m_{2k} = ! & \text{si } h(\gamma_{k-1}) \setminus \gamma_k \notin \mathbb{R}; \\ m_{2k} = \# & \text{si } \gamma_{k-1} \setminus h(\gamma_k) \notin \mathbb{R}; \end{cases}$$
2. $\{ \gamma_k \} = (m_{2k-1}, m_{2k}, m_{2k+1})$;
 $\{ !(\gamma_k) \} = !(m_{2k-1}, m_{2k}, m_{2k+1})$;

2.5 Lien avec l'indice de Poincaré-Lefschetz

On dira qu'un mot M sur l'alphabet $\{ !, \#, \#; \}$, cyclique ou non, est autorise si les lettres de M sont alternativement des fleches horizontales et des fleches verticales. On definit l'indice partiel symbolique des mots (non cycliques) autorises a deux lettres par les formules suivantes :

$$\begin{aligned} IP(\#!) &= IP(!\#) = IP(\#) = IP(!) = +\frac{1}{4}; \\ IP(!\#) &= IP(!\#) = IP(\#) = IP(!) = \frac{1}{4}; \end{aligned}$$

Autrement dit, l'indice partiel symbolique est la variation angulaire algebrique, en nombre de tours, quand on passe continument de la premiere fleche a la seconde (en suivant le chemin le plus court, c'est-a-dire en tournant, en valeur absolue, d'un quart de tour et non pas de trois quarts de tour).

On etend la definition a un mot non cyclique, autorise, de n lettres par la formule

$$IP(m_1 \dots m_n) = \sum_{i=1}^{n-1} IP(m_i m_{i+1});$$

et a un mot cyclique, autorise, de n lettres par la formule

$$IP_c((m_i)_{i \in \mathbb{Z}}) = \sum_{i=1}^n IP(m_i m_{i+1}) = IP(m_1 \dots m_n m_1);$$

Enfin, l'indice symbolique d'un mot cyclique autorise M a n lettres est

$$\text{Indice}(M) = IP_c(M) + 1;$$

Remarquons que les mots cycliques autorises ont necessairement un nombre pair de lettres, que cette formule ne depend pas de l'indexation choisie, et que l'indice symbolique d'un mot cyclique autorise est un entier. Le theoreme suivant montre notamment que l'invariant $M(h)$ est plus grand que l'indice de Poincaré-Lefschetz.

Theorem e 4. Soit h un homomorphisme du plan, preservant l'orientation, xant le point 0 , tel que l'indice de Poincare-Lefschetz du point x est different de 1 . Alors l'indice de Poincare-Lefschetz du point x est egal a l'indice symbolique du mot cyclique $M(h)$:

$$\text{Indice}(h;0) = \text{Indice}(M(h)):$$

Ce resultat implique l'inegalite suivante :

$$\text{Module}(h) \geq 2|\text{Indice}(h;0) - 1|;$$

Les exemples dessines sur la figure 1 ont donc un module minimal parmi les homomorphismes d'indice de Poincare-Lefschetz donne. Cette inegalite sera un des lemmes importants dans la preuve des resultats precedents; il est cependant instructif de voir comment elle decoule du theorem e 4. Notons ℓ le nombre de lettres du mot cyclique $M(h)$; ce nombre ℓ est le double du module de h . L'indice partiel symbolique du mot cyclique $M(h)$ est une somme de ℓ termes qui valent chacun ± 1 , par consequent sa valeur absolue est majorée par $\frac{\ell}{4}$:

$$\frac{\text{Module}(h)}{2} = \frac{\ell}{4} |\sum_{j \in \mathbb{P}_c(M(h))} j|$$

L'inegalite provient maintenant des definitions de l'indice symbolique et de la formule du theorem e 4.

On a aussi un resultat de realisabilite.

Proposition 2.13. Soit M un mot cyclique de longueur paire, constitue de lettres qui sont alternativement des echecs horizontales (! ou) et des echecs verticales (" ou #). Supposons de plus que l'indice symbolique de ce mot soit different de 1 . Alors il existe un homomorphisme du plan h , preservant l'orientation, xant uniquement 0 , d'indice different de 1 , tel que $M(h) = M$.

Les homomorphismes de la proposition fournissent donc une infinite d'exemples qui illustrent ce texte. La construction est donnee a la section 4.4, elle est independante du reste de l'article.

2.6 Conséquences dynamiques

De nombreuses propriétés dynamiques se lisent sur l'indice par quarts-de-tour. Elles ont été releguées dans la partie IV.

2.7 Structure du texte

Le texte s'appuie de maniere fondamentale sur les resultats de [8], qui contient la construction d'un invariant du même type dans le cadre plus simple des homomorphismes du plan sans point fixe. En particulier, une partie du texte consiste a verifier que les resultats obtenus dans [8] se transposent au cadre des homomorphismes avec un point fixe. La principale nouveauté concerne la formule qui relie l'indice par quarts-de-tour a l'indice de Poincare-Lefschetz. Pour l'obtenir, nous aurons besoin des techniques de construction de droites de Brouwer de P. Le Calvez et A. Sauzet ([2, 6]), utilisant les decompositions en briques, et de la notion d'indice partiel developpee dans le texte [7] (sections 3.3 et 3.4 de [7]). Nous utiliserons également l'existence d'un releve canonique, et le theorem e D du texte [7] (existence de croissants et de petales).

Dans la partie II, on demontre les resultats annonces a partir d'un certain nombre de lemmes. Ces lemmes sont prouves dans la partie III. La partie IV contient les enonces et les preuves des liens entre l'indice par quarts-de-tour et la dynamique. L'appendice A porte sur la generalisation des resultats en indice 1.

Deuxieme partie

Squelette de preuve

Dans cette partie, on prouve presque tous les resultats annonces a la partie precedente, en admettant provisoirement un certain nombre de lemmes intermediaires. Dans la partie suivante, on demontre ces lemmes intermediaires, y compris la proposition 2.11 qui caracterise le

module comme la h -longueur d'une courbe géodésique. Pour toute cette partie, on se donne un homéomorphisme h du plan vérifiant les hypothèses de la section précédente : h préserve l'orientation, le point 0 est son unique point fixe, et son indice de Poincaré-Lefschetz, noté $\text{Indice}(h;0)$, est différent de 1 .

3 Énoncés des lemmes

Dans cette section, on énonce les résultats intermédiaires, tout en dénominant les objets nécessaires. Voici les différentes étapes :

- 3.1 d'après le texte [7], l'homéomorphisme h admet un relèvement canonique \tilde{h} ;
- 3.2 une courbe de Jordan géodésique pour h se relève alors en une droite géodésique pour \tilde{h} , qui est essentiellement unique ;
- 3.3 d'après le texte [8], à une telle droite géodésique sont associées canoniquement une suite de composantes de Reeb pour \tilde{h} , et un mot infini \tilde{M} qui décrit grossièrement la dynamique de ces composantes ;
- 3.4 ces composantes de Reeb pour \tilde{h} se projettent sur des composantes de Reeb pour h .

3.1 Relèvement canonique

Soit $\tilde{\cdot}$ le revêtement universel³

$$\begin{aligned} \mathbb{R}^2 & \xrightarrow{\tilde{\cdot}} \mathbb{C}/\pi\mathbb{Z} & \xrightarrow{\tilde{\cdot}} \mathbb{R}^2/\pi\mathbb{Z} \\ (\cdot; r) & \xrightarrow{\tilde{\cdot}} \exp(r + 2i\cdot) : \end{aligned}$$

Un relèvement de l'homéomorphisme h est un homéomorphisme \tilde{h} du plan \mathbb{R}^2 tel que $\tilde{h} = \tilde{\cdot} \circ h \circ \tilde{\cdot}^{-1}$. On note $\tilde{\cdot}$ l'automorphisme de revêtement $(\cdot; r) \mapsto (\cdot + 1; r)$. Comme h préserve l'orientation, il est isotopé à l'identité parmi les homéomorphismes fixant 0 (théorème de Kneser), et par conséquent tout relèvement de h commute avec la translation $\tilde{\cdot}$. D'autre part, \tilde{h} n'a aucun point fixe. Ces remarques permettent de définir l'indice de \tilde{h} relativement à $\tilde{\cdot}$: c'est l'indice de \tilde{h} le long de n'importe quelle courbe reliant un point à son image par $\tilde{\cdot}$ (voir [7], p78). C'est un entier, on le note $\text{Indice}(\tilde{h})$.

Commençons par rappeler l'existence d'un relèvement canonique. L'énoncé suivant est équivalent à la proposition 4.17 du texte [7] (p 80).

Proposition 3.1 (relèvement canonique). Il existe un unique relèvement \tilde{h} de h par $\tilde{\cdot}$ tel que les indices vérifient la relation

$$\text{Indice}(\tilde{h}) = \text{Indice}(h;0) - 1:$$

On a de plus :

1. si e est un arc libre⁴ pour \tilde{h} , alors $\tilde{\cdot}(e)$ est un arc libre pour h ;
2. si F est une décomposition en briques pour h , alors $F^{\tilde{\cdot}} = \tilde{\cdot}^{-1}(F)$ est une décomposition en briques pour \tilde{h} .

Nous rappellerons en temps utile ce qu'est une décomposition en briques. Les résultats du texte [7] nous permettent également de minorer le module de h .

Proposition 3.2 (minoration du module). On a

$$\text{Module}(h) \geq 2 - \text{Indice}(h;0) - 1:$$

En particulier, si l'indice du point fixe est différent de $0, 1$ ou 2 , alors le module est supérieur ou égal à 4 .

³Le signe $\tilde{\cdot}$ devant le \mathbb{R} est une commodité, introduite pour des raisons essentiellement visuelles : le point 0 se retrouve à l'infini haut du revêtement. Par ailleurs, la lettre $\tilde{\cdot}$ à l'intérieur de la formule n'a bien sûr rien à voir avec la lettre $\tilde{\cdot}$ désignant l'application de revêtement.

⁴Rappelons que "libre" signifie "disjoint de son image".

3.2 Géodesiques locales et globales

On considère un homéomorphisme de Brouwer H , c'est-à-dire un homéomorphisme du plan, sans point fixe, préservant l'orientation (sans hypothèse de commutation pour le moment). Dans ce cadre, on a défini dans le texte [8] une distance d_H , à valeurs entières (voir [8], section 3.1; cette distance compte le nombre minimal de domaines de translation, ou (de manière équivalente) le nombre minimal d'arcs libres, nécessaires pour connecter deux points donnés).

Définition 3.3. Soit I un intervalle de \mathbb{Z} , et d un entier positif. Une suite $(x_i)_{i \in I}$ de points du plan est une suite géodesique locale d'ordre d si pour tous indices i, j dans I ,

$$|j - i| \leq d \implies d_H(x_i, x_j) = |j - i|.$$

Rappelons qu'une suite de points du plan est une suite géodesique ("globale") si c'est une suite géodesique locale d'ordre d pour tout d . L'existence de composantes de Reeb, obtenue dans le texte [8], nous permettra de montrer que les géodesiques locales sont des géodesiques globales.

Proposition 3.4 (géodesiques locales). Soit H un homéomorphisme de Brouwer, et $(x_i)_{i \in I}$ une suite géodesique locale d'ordre d , avec $d \geq 3$. Alors $(x_i)_{i \in I}$ est une suite géodesique.

Une suite $(x_k)_{k \in \mathbb{Z}}$ est d -équivariante, de période $d \geq 1$, si on a $x_{k+d} = x_k$ pour tout entier k . Rappelons que deux suites géodesiques $(x_k)_{k \in \mathbb{Z}}$ et $(x_k^0)_{k \in \mathbb{Z}}$ dérivent les mêmes bouts si il existe un entier p tel que pour tout entier k , $d_H(x_k, x_k^0) \leq p$ (voir [8], section 7.1). Cette relation est une relation d'équivalence. La proposition précédente entraînera l'existence d'une unique classe d'équivalence de géodesiques d -équivariantes (rappelons que la notion de droite géodesique est définie dans [8], et que la proposition 2.11 nous fournit une courbe de Jordan géodesique).

Corollaire 3.5. Soit \tilde{h} le relevé canonique fourni par la proposition 3.1, et d le module de h . Soit γ une courbe de Jordan géodesique pour h . Soit $\tilde{\gamma}$ la droite topologique de \mathbb{R}^2 qui relève γ .

1. La droite $\tilde{\gamma}$ est une droite géodesique pour \tilde{h} . Plus précisément, toute décomposition minimale de $\tilde{\gamma}$ se relève en une décomposition minimale de γ , et la suite des sommets de cette décomposition est une suite géodesique pour \tilde{h} qui est d -équivariante, de période d .
2. Si deux suites géodesiques pour \tilde{h} sont d -équivariantes de période d , alors elles dérivent les mêmes bouts de \tilde{h} .

Définition 3.6. On notera $[\gamma]$ l'unique classe d'équivalence de suites géodesiques définie par le corollaire.

Voici l'idée de la preuve du premier point du corollaire. Si l'indice du point fixe de h est différent de 0, 1 ou 2, alors le module d est impair par 4 (proposition 3.2). D'après la proposition 2.11, le module est égal à la h -longueur de la courbe de Jordan géodesique γ . En relevant les d sommets d'une décomposition minimale de γ , on obtient une suite d -équivariante. Cette suite est une géodesique locale d'ordre d . Puisque $d \geq 4$, la proposition précédente dit que cette suite est en fait une suite géodesique "globale".

Le cas où l'indice du point fixe vaut 0 ou 2 est plus délicat. Néanmoins, on peut se ramener au cas précédent en montrant que h admet un (unique) relevé h_2 , par le revêtement à deux feuillets ramifié au-dessus de h , qui est d'indice 1 ou 3.

3.3 Dynamique des homéomorphismes de Brouwer équivariants

On va maintenant utiliser les composantes de Reeb associées à une suite géodesique. Plus précisément, nous allons utiliser les résultats des sections 7 et 8 de [8] : à chaque suite géodesique infinie sont associées (canoniquement) une suite de composantes de Reeb et un motif fini, et ce motif fini contient des informations sur la dynamique dans les bords des composantes de Reeb et sur les orbites des points de la suite géodesique. De plus, ces objets ne dépendent que de la classe d'équivalence de la suite géodesique modulo la relation "dérivent les mêmes bouts". Lorsque l'homéomorphisme est équivariant, on obtient ainsi un motif périodique; dans le théorème 4-bis, on relie l'indice partiel du motif cyclique induit à l'indice de \tilde{h} par rapport à la translation T_d .

Écrivons maintenant tout ceci en détail. On note toujours \tilde{h} le relevé canonique, d le module. On se donne aussi une suite $(x_k)_{k \in \mathbb{Z}}$ géodesique pour \tilde{h} qui est d -équivariante, de période d . Cette suite est la suite des sommets d'une droite géodesique $\tilde{\gamma}$, qui est invariante par T_d (corollaire 3.5).

Composantes de Reeb La définition des composantes de Reeb dans le cadre des homéomorphismes de Brouwer se trouve à la section 4.2 de [8]. On note $(\mathbb{F}_k; \mathbb{G}_k)_{k \in \mathbb{Z}}$ la suite de composantes de Reeb associée à la suite $(\mathbb{R}_k)_{k \in \mathbb{Z}}$ ([8], section 7). On a notamment

$$\mathbb{F}_k \setminus]\mathbb{R}_{k-1}, \mathbb{R}_k] \text{ et } \mathbb{G}_k \setminus]\mathbb{R}_k, \mathbb{R}_{k+1}] :$$

Comme la suite $(\mathbb{R}_k)_{k \in \mathbb{Z}}$ est équivariante, par unicité des composantes de Reeb (théorème 2 de [8]), la suite des composantes est elle-même équivariante : on a $(\mathbb{F}_{k+d}; \mathbb{G}_{k+d}) = (\mathbb{F}_k; \mathbb{G}_k)$ pour tout k . Rappelons aussi que chacun des bords \mathbb{F}_k et \mathbb{G}_k est invariant par \mathfrak{h} ([8], lemme 7.10).

Mot cyclique On note $\mathfrak{M}([\cdot])$ le mot infini, sur l'alphabet $\{!; \#; "g$, associé à $[\cdot]$ ([8], théorème 3 et définition 8.2). Comme \mathfrak{h} commute avec la translation, ce mot infini est périodique de période $2d$. On note $M([\cdot])$ le mot cyclique à $2d$ lettres induit par ce mot périodique.

Formule d'indice On pourra alors relier l'indice du relevé canonique à l'indice symbolique.

Théorème (4-bis). L'indice de \mathfrak{h} par rapport à α est égal à l'indice partiel symbolique du mot cyclique $M([\cdot])$:

$$\text{Indice}(\mathfrak{h}) = \text{IP}_c(M([\cdot])) = \text{IP}(m_1 :: : m_{2d} m_1) :$$

3.4 Compatibilité des composantes de Reeb

Dans le texte [8], on construisait une compactification de chaque bord de composante de Reeb par l'ajout de deux points à l'infini, notes N et S (on pense à N comme étant l'infini "en haut", et S est l'infini "en bas"). Le théorème 3 de [8] (section 8.1) dit que la lettre m_{2k+1} vaut $\#$ si et seulement si le bord \mathbb{F}_k est de type dynamique Nord-Sud, c'est-à-dire si il existe un ouvert dense de points de \mathbb{F}_k dont l'orbite va de N à S .

On peut étendre continûment l'application de revêtement en posant $\alpha(N) = 0$ et $\alpha(S) = 1$, où 1 désigne le point à l'infini du compact d'Alexandro de \mathbb{R}^2 . La proposition suivante établit une correspondance entre les composantes de Reeb de h et celles de son relevé canonique \mathfrak{h} . On note $O(\mathbb{F}; \mathbb{G})$ l'unique composante connexe de $\mathbb{R}^2 \setminus (\mathbb{F} \cup \mathbb{G})$ dont l'adhérence rencontre à la fois \mathbb{F} et \mathbb{G} (voir l'appendice B ; rappelons que $O(\mathbb{F}; \mathbb{G})$ est définie de façon analogue à la section 2.2).

Proposition 3.7.

1. Si un couple $(\mathbb{F}; \mathbb{G})$ est une composante de Reeb minimale pour le relevé canonique \mathfrak{h} , associée à $[\cdot]$, alors l'application α induit un homéomorphisme de $\mathbb{R}^2 \setminus O(\mathbb{F}; \mathbb{G}) \setminus (\mathbb{F} \cup \mathbb{G})$ sur son image $F \setminus O(F; G) \setminus (G \cup \{f_0, 1, g\})$, et le couple $(F; G) = (\mathbb{F}; \mathbb{G})$ est une composante de Reeb minimale pour h .
2. Réciproquement, si $(F; G)$ est une composante de Reeb minimale pour h , alors il existe un couple $(\mathbb{F}; \mathbb{G})$ qui est une composante de Reeb minimale pour \mathfrak{h} , associée à $[\cdot]$, et tel que $\mathbb{F} = F$ et $\mathbb{G} = G$.

Dans la situation décrite par la proposition, on dira que $(F; G)$ est la projetée de la composante $(\mathbb{F}; \mathbb{G})$, et que $(\mathbb{F}; \mathbb{G})$ est une composante relevée de $(F; G)$.

4 Preuve des théorèmes

À partir des lemmes de la section précédente, nous démontrons tous les résultats énoncés dans la section 2 (mise à part la proposition 2.11, dont la preuve fait l'objet de la section suivante). Nous reprenons les notations de la section précédente.

4.1 Existence et unicité des composantes de Reeb pour h (théorème 1)

Notons $F_k := (\mathbb{F}_k)$, $G_k := (\mathbb{G}_k)$ les projetés des bords des composantes de Reeb pour \mathfrak{h} associées à $[\cdot]$. D'après la proposition 3.7, les composantes de Reeb minimales pour h sont exactement les couples $(F_1; G_1); \dots; (F_d; G_d)$. La propriété d'ordre cyclique vient de l'ordre des composantes $(\mathbb{F}_i; \mathbb{G}_i)$ ([8], lemme 7.10). Le théorème 1 en découle.

4.2 Dynamique dans les bords des composantes (proposition 2.5 et 2.7)

Soit $(F; G)$ une composante de Reeb minimale pour h , et $(\mathbb{F}; \mathbb{G})$ une composante relevée. D'après la proposition 3.7, l'application $\hat{\cdot} : \mathbb{F} \rightarrow \mathbb{F} \setminus \mathbb{S}^1$ est un homéomorphisme qui envoie N sur 0 et S sur 1 . La proposition 2.5, concernant la dynamique dans le bord F , est alors une simple traduction du résultat sur la dynamique dans \mathbb{F} (proposition 7.17 de [8]).

D'après le théorème 3 de [8], deux bords adjacents \mathbb{F}_k et \mathbb{F}_{k+1} sont du même type dynamique pour \mathbb{h} . On en déduit immédiatement la proposition 2.7 : deux bords adjacents G_k et F_{k+1} sont du même type dynamique pour h .

L'indice par quarts-de-tour, défini à la section 2.3 à partir de la dynamique dans les composantes de Reeb minimales de h , est alors clairement un invariant de conjugaison, ce qui est l'énoncé du théorème 2.

4.3 Caractérisation de l'indice en termes de courbes (théorème 3)

La encore, il s'agit principalement de transposer à h les liens entre composantes de Reeb et droite géodésique établis pour \mathbb{h} dans le texte [8], et notamment de montrer que le mot cyclique $M([\cdot])$, défini en 3.3 à partir du texte [8], coïncide avec le mot cyclique $M(h)$ défini en 2.3. On considère une courbe de Jordan γ , géodésique pour h , munie d'une décomposition minimale

$$\gamma = \gamma_1 \cup \dots \cup \gamma_d$$

et x_1, \dots, x_d les sommets de cette décomposition (de façon à ce que $\gamma_k = [x_k, x_{k+1}]$). Soit $\tilde{\gamma}$ la droite topologique qui relève γ ; la décomposition de γ se relève en une décomposition

$$\tilde{\gamma} = \tilde{\gamma}_1 \cup \dots \cup \tilde{\gamma}_d$$

qui est équivariante pour \mathbb{h} : $\mathbb{h}(\tilde{\gamma}_k) = e_{k+d}$. De même, on peut relever la suite cyclique des sommets de γ en une suite $(x_k)_{k \in \mathbb{Z}}$ de sommets de $\tilde{\gamma}$, de manière compatible. On note encore $(\mathbb{F}_k; \mathbb{G}_k)$ la composante de Reeb minimale associée au sommet x_k , et $(F_k; G_k)$ sa projection par \cdot .

Annexion 4.1. Les six propriétés suivantes sont équivalentes :

1. $\mathbb{h}(e_{k-1}) \setminus e_k \notin \mathbb{h}$;
2. dans le mot infini $M([\cdot])$, la lettre correspondant au sommet x_k vaut $!$;
3. la dynamique de \mathbb{h} va de \mathbb{F}_k vers \mathbb{G}_k ;
4. la dynamique de h va de F_k vers G_k ;
5. dans le mot cyclique $M(h)$, la lettre correspondant au sommet x_k vaut $!$;
6. $h(\gamma_{k-1}) \setminus \gamma_k \notin h$;

Preuve de l'annexion |

{ L'équivalence entre les propriétés 1 et 2 découle de la définition des lettres horizontales dans le texte [8] (définition 3.11).

{ Le théorème 1-bis de [8] donne l'équivalence entre les propriétés 2 et 3.

{ L'équivalence entre les propriétés 3 et 4 vient de la compatibilité des composantes de Reeb de \mathbb{h} avec celles de h (proposition 3.7).

{ La définition 2.8 des lettres horizontales fournit l'équivalence entre les propriétés 4 et 5.

Il reste à montrer l'équivalence entre les propriétés 1 à 5 d'une part, et la propriété 6 d'autre part. Il est clair que 1 implique 6. Supposons maintenant que les propriétés 1 à 5 ne sont pas vérifiées; notamment, dans le mot infini $M([\cdot])$, la lettre correspondant au sommet x_k vaut \cdot . Par définition des lettres horizontales de \mathbb{h} , ceci entraîne $e_{k-1} \setminus \mathbb{h}(e_k) \in \mathbb{h}$; et par conséquent $\gamma_{k-1} \setminus h(\gamma_k) \in h$. Si la propriété 6 était vérifiée, en épaississant un peu les arcs γ_{k-1} et γ_k , on obtiendrait une chaîne périodique de deux disques, et l'indice du point fixe de h serait égal à 1 d'après le lemme de Franks (voir par exemple [7], lemme 3.18 p39).⁵

⁵On peut montrer, alternativement, que le module de h est alors égal à 2. En effet, puisque d'après la propriété 6 $h(\gamma_{k-1})$ rencontre γ_k , $\mathbb{h}(e_{k-1})$ doit rencontrer e_k . Comme e_k est géodésique, la rencontre ne peut se faire que

Nous pouvons maintenant terminer la preuve du theorem 3. L'equivalence entre les points 5 et 6 de l'annulation nous donne le premier point du theorem. Pour obtenir le deuxieme point, on applique le theorem 3 de [8] (section 8.1), qui etablit une correspondance entre le type dynamique des bords de la composante de Reeb $(\mathbb{F}_k; \mathbb{G}_k)$ d'une part, et la dynamique du sommet \mathbb{E}_k . L'application de revêtement se restreint en un homomorphisme entre $\mathbb{F} \setminus \{0\} (\mathbb{F}; \mathbb{G}) / \mathbb{G} \setminus \{fN\} / Sg$ et son image. Comme le point \mathbb{E}_k est dans l'ouvert $O(\mathbb{F}; \mathbb{G})$, on a pour l'homomorphisme h une correspondance parallele entre le type dynamique des bords de la composante de Reeb $(\mathbb{F}_k; \mathbb{G}_k)$ et la dynamique du sommet \mathbb{E}_k . Ceci prouve le deuxieme point.

Lien avec l'indice de Poincare-Lefschetz (theorem 4)

Pour montrer le theorem 4, qui relie l'indice par quarts-de-tour a l'indice de Poincare-Lefschetz, on applique successivement :

{ la formule qui relie l'indice de Poincare-Lefschetz de h a l'indice du releve canonique \tilde{h} par rapport a \tilde{M} (proposition 3.1) :

$$\text{Indice}(h; 0) = \text{Indice}(\tilde{h}) + 1;$$

{ le theorem 4-bis qui relie l'indice de \tilde{h} a l'indice partiel symbolique du mot M ([1]) (qui est egal a $M(h)$ d'apres le point precedent) :

$$\text{Indice}(\tilde{h}) = \text{IP}_c(M(h));$$

{ le lien qui existe, par definition, entre l'indice partiel symbolique et l'indice symbolique :

$$\text{Indice}(M) = \text{IP}_c(M) + 1;$$

On en deduit la formule attendue,

$$\text{Indice}(h; 0) = \text{Indice}(M(h));$$

4.4 Realisabilite

On explique ici comment construire une famille denombrable d'exemples illustrant la theorie, qui realisent tous les indices par quarts-de-tour possibles.

Preuve de la proposition 2.13 | On commence par se donner des dynamiques modeles sur des secteurs du plan. Plus precisement, on considere l'ensemble des mots autorises de longueur trois, dont les premiere et demiere lettres sont des eches verticales (la eche centrale etant donc horizontale). On va associer a chacun de ces huit mots un homomorphisme de \mathbb{N} sur un secteur du plan issu de 0, et allant uniquement 0. La dynamique associee au mot $(\# \#)$ est dessinee sur la figure 9 (a gauche). On associe au mot $(\# \#)$ la dynamique inverse de la precedente; ces deux modeles sont appeles secteurs hyperboliques. De meme, on associe aux deux mots $(\# \#)$ et $(\# \#)$ les deux secteurs elliptiques correspondant au dessin de droite de la figure 9 et a son inverse.⁶ Il nous reste a construire les quatre modeles de secteurs indifferents, ce qui est plus delicat. On peut reprendre un exemple construit par M. Brown, E. Slaminka et W. Transue ([3], [2]). On commence par definir une dynamique g sur la bande $[1; 1] \times \mathbb{R}$, en composant deux homomorphismes σ et τ (figure 10). Pour cela, on considere l'ensemble F constitue des deux droites bordant la bande, $f \setminus g \times \mathbb{R}$ et $f \setminus g \times \mathbb{R}$, ainsi que des points d'abscisse 0 et d'ordonnee entiere. L'homomorphisme σ translate le point $(; r)$ verticalement d'une hauteur $2j - j - 1$ (on a donc $\sigma(F) = F$). L'homomorphisme τ translate le point $(; r)$ horizontalement, vers la droite, d'une distance egale a la moitie de la distance euclidienne de $(; r)$ a l'ensemble F (il se donc chaque point de l'ensemble F). On peut ensuite identifier un secteur du plan a la bande $[1; 1] \times \mathbb{R}$ par les coordonnees polaires (par exemple $(; r) \mapsto \exp(r + i\theta) = 4$), ce qui revient a ajouter a la

sur $e_k - 2$ ou e_k . Comme (par hypothese) la propriete 1 n'est pas verifiee, $\tilde{h}(e_{k-1})$ rencontre en fait e_{k-2} , et aucun autre arc de la decomposition de \tilde{M} . Puisque $h(e_{k-1})$ rencontre e_k , on en deduit que l'arc e_{k-2} est un releve de l'arc e_k , qui etait deja releve par e_k ; par suite le module vaut 2. Cette remarque, qui evite le recours au lemme de

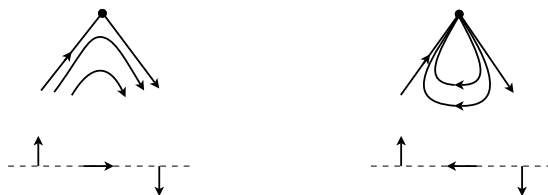


Fig. 9 { M odes hyperbolique et elliptique

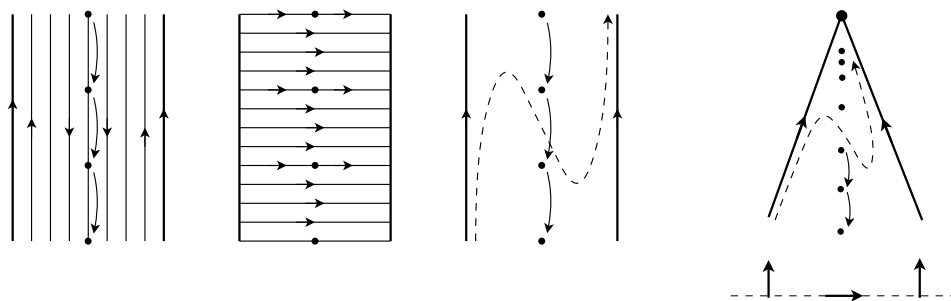


Fig. 10 { M odes indifférent

bande le point à l'infini en haut), et transporter ainsi la dynamique g sur un secteur du plan. Ceci nous fournit le secteur modèle associé au mot $(\# \#)$. L'inverse donne le mot $(\# \#)$, et les deux derniers modèles s'obtiennent en conjugant ces deux-ci par une symétrie orthogonale.

Chaque bord de secteur-modèle est une demi-droite issue de 0 , sur laquelle la dynamique est conjuguée à l'homothétie de rapport 2 ou à son inverse, ce qui nous permet de recoller continûment les différents types de secteurs, pour peu que la dynamique sur les bords à recoller se fasse dans le même sens.

Étant donné un mot cyclique M autorisé de longueur $2d$, on écrit la liste des d sous-mots de longueur trois dont la première lettre est une arche verticale, et on recolle dans l'ordre les secteurs modèles associés à ces sous-mots, de façon à obtenir un homéomorphisme h . On peut alors faire deux remarques. D'une part, une courbe qui relie les deux bords d'un secteur modèle en le traversant n'est jamais libre. D'autre part, si S est le secteur modèle associé au mot $(m_1 m_2 m_3)$, si x est un point du bord gauche de S (correspondant à l' arche m_1) et y un point du bord droit (correspondant à l' arche m_3), alors le couple $(x; y)$ est singulier pour $h \circ \text{sim}_2 = !$, et il est singulier pour $h^{-1} \circ \text{sim}_2 =$. Avec ces deux remarques, il n'est pas difficile de vérifier que le mot $M(h)$ est égal à M .

Troisième partie

Preuves des lemmes

Cette partie contient notamment les preuves des énoncés de la partie précédente. On commence par caractériser le module de l'homéomorphisme le minimum des h -longueurs des courbes de Jordan qui entourent le point fixe (proposition 2.11, section 5). Ceci permet de définir le module en fonction de l'indice du point fixe (proposition 3.2, section 6). On en déduit l'existence d'une suite géodésique équivariante pour le relevé canonique \tilde{h} , qui est essentiellement unique (corollaire 3.5, section 7). Par ailleurs, nous montrons à la section 8 que chaque composante de Reeb contient une droite de

Franks pour h , sera exploitée dans l'appendice A pour les points fixes d'indice 1.

⁶Si on veut être plus précis, le modèle hyperbolique est donné par la restriction S_h de l'application $(x; y) \mapsto (2x; y=2)$ au quart-de-plan fermé $fx \geq 0; y \geq 0$; le modèle de secteur elliptique s'obtient en échangeant les rôles de 0 et de 1 : on prend la restriction S_e de la même application $(x; y) \mapsto (2x; y=2)$ au quart-de-plan fermé $fx \geq 0; y \geq 0$ en remplaçant f par g .

Brouwer qui separe les deux bords; ceci permet de montrer la formule d'indice pour le relevé \tilde{h} , à l'aide de la notion d'indice partiel (theorem 4-bis, section 9). Nous terminons cette partie avec la proposition 3.7, qui met en correspondance les composantes de Reeb de \tilde{h} et celles de h (section 10).

5 Module et courbes

On se donne un homéomorphisme h du plan, préservant l'orientation, fixant le point 0 , sans autre point fixe, et tel que l'indice de Poincaré-Lefschetz du point fixe est différent de 1 .

Preuve de la proposition 2.11 |

Le module m est la longueur minimale des courbes. Il s'agit d'abord de montrer que le module, défini en termes de domaines de translation (définition 2.1), est égal au minimum des h -longueurs des courbes de degré 1 . Cette égalité provient des deux remarques suivantes :

- { toute courbe libre est incluse dans un domaine de translation ;
- { si x et y appartiennent à un même domaine de translation, alors il existe un arc libre allant de x à y (sauf si x et y sont dans la même orbite de h).

Les détails sont les mêmes que pour la preuve du corollaire 3.5 du texte [8].

Courbe de Jordan géodésique Passons maintenant à la preuve de la seconde partie de la proposition 2.11. Il est classique de construire une courbe de Jordan à partir d'une courbe contenant des points doubles en "accrétant les boucles" ; il faut juste faire attention à obtenir une courbe de degré 1 , et surtout à conserver le caractère géodésique. On part d'une courbe géodésique γ , que l'on va modifier pour obtenir une courbe de Jordan géodésique. On voit γ comme une application du cercle $S^1 = \mathbb{R}/\mathbb{Z}$ dans $\mathbb{R}^2 \setminus \{0\}$. Remarquons que toute courbe assez proche d'une courbe libre est encore libre ; par conséquent, toute courbe assez voisine de γ a une h -longueur inférieure ou égale à celle de γ . D'autre part, comme γ est une courbe géodésique, elle est déjà de h -longueur minimale : naturellement, toute courbe assez voisine de γ a une h -longueur égale à celle de γ . Quitte à perturber γ arbitrairement peu, on peut supposer que γ n'a qu'un nombre fini de points multiples (tout en restant une courbe géodésique d'après ce qui précède). Disons qu'un intervalle fermé non trivial $[t, t^0]$ du cercle est une boucle de γ (de degré 0) si $\gamma(t) = \gamma(t^0)$, et si la courbe $[t, t^0]$ est une courbe fermée de degré 0 dans $\mathbb{R}^2 \setminus \{0\}$. Une boucle $[t, t^0]$ est maximale si il n'existe pas d'intervalle contenant strictement $[t, t^0]$ qui soit encore une boucle de γ . Puisque γ n'a qu'un nombre fini de points multiples, elle n'a qu'un nombre fini de boucles, et toute boucle est incluse dans une boucle maximale (non unique).

Considérons une famille F d'intervalles fermés du cercle, deux à deux disjoints, qui sont des boucles maximales de γ . On peut alors définir

- { un espace $\overline{S^1}$, homéomorphe au cercle, obtenu en identifiant chaque intervalle $[t_i, t_i^0]$ de F à un point (on note $p : \overline{S^1} \rightarrow S^1$ l'application quotient) ;
- { une application $f_F : \overline{S^1} \rightarrow \mathbb{R}^2 \setminus \{0\}$ en posant

$$\begin{aligned} f_F(p([t_i, t_i^0])) &= \gamma(t_i) = \gamma(t_i^0) && \text{pour chaque intervalle } [t_i, t_i^0] \in F ; \\ f_F(p(t)) &= \gamma(t) && \text{en dehors de } \bigcup_{i \in I} [t_i, t_i^0] \in F ; \end{aligned}$$

Cette application est encore une courbe de degré 1 dans $\mathbb{R}^2 \setminus \{0\}$. Puisque γ n'a qu'un nombre fini de boucles, on peut choisir une telle famille F qui est maximale, autrement dit, telle qu'il n'existe aucun intervalle J , qui est une boucle maximale, et qui est disjoint de tous les intervalles de F . On voit facilement que dans ce cas, f_F est une courbe qui n'admet aucune boucle. On peut alors utiliser le lemme suivant.⁷

⁷Voici un schéma de preuve (les détails sont laissés au lecteur). On considère les boucles de degré p de γ (avec une définition évidente) : il s'agit de montrer qu'il n'y en a pas. Par hypothèse γ n'a pas de boucle de degré 0 . Elle n'a pas non plus de boucle γ^0 de degré 1 , sans quoi on aurait $\gamma^0 = \gamma^0 \circ \gamma^0$ avec γ^0 boucle de degré 0 . Considérons alors une boucle γ^p de degré $p > 1$, qui est maximale : c'est une courbe de Jordan. On conclut avec le lemme classique : Lemme 5.1. Il n'existe pas de courbe de Jordan γ^p de degré $p > 1$.

Lemme 5.2. Si γ est une courbe fermée de degré 1 dans $\mathbb{R}^2 \setminus \{0\}$, et si elle n'a pas de boucle, alors c'est une courbe de Jordan.

La définition de γ_F entraîne que pour tout intervalle $[s, s']$ du cercle S^1 , $\gamma_F|_{[s, s']}$ est inclus dans $\gamma([s, s'])$. En particulier, si $\gamma([s, s'])$ est libre, alors $\gamma_F|_{[s, s']}$ est encore libre, ce qui signifie que la h -longueur de γ_F est inférieure ou égale à celle de γ . Comme γ était déjà géodésique, γ_F est aussi une courbe géodésique. On a ainsi obtenu une courbe de Jordan géodésique.

6 Minoration du module

Dans cette section, on démontre la proposition 3.2, qui permet de minorer le module de h en fonction de l'indice du point fixe : plus l'indice est différent de 1, plus le module doit être grand. Pour cela, nous appliquons une bonne partie des résultats du texte [7].

6.1 Décompositions en briques

Généralités

Nous commençons par rappeler brièvement la définition des décompositions en briques (voir les travaux de P. Le Calvez et A. Sauzet ([12, 6]) ou [7] pour des motivations et des définitions plus détaillées). Soit H un homéomorphisme du plan, préservant l'orientation, et n'ayant qu'un nombre fini de points fixes (en pratique, dans ce texte, H aura 0 ou 1 point fixe). On pose $U = \mathbb{R}^2 \setminus \text{Fixe}(H)$, où $\text{Fixe}(H)$ désigne l'ensemble des points fixes de H . Soit F un graphe triadique plonge dans U . L'adhérence (dans U) d'une composante connexe du complémentaire de F est appelée brique. D'un point de vue topologique, on suppose que chaque brique est compacte. D'un point de vue dynamique, on demande que chaque brique soit libre par H , mais que la réunion de deux briques adjacentes ne soit pas libre. Si toutes ces hypothèses sont vérifiées, l'ensemble F est appelé décomposition en briques pour H .

Décomposition géodésique

On suppose maintenant que h est un homéomorphisme du plan, préservant l'orientation, dont 0 est l'unique point fixe, avec un indice différent de 1. Soit F une décomposition en briques pour h . Le module de F est le nombre minimal de briques dont la réunion sépare 0 et 1 dans la sphère $\mathbb{R}^2 \setminus \{0\}$ (autrement dit, dont la réunion contient une courbe fermée de degré 1 dans $\mathbb{R}^2 \setminus \{0\}$).

Définition 6.1. Une décomposition en brique F pour h est géodésique si son module est égal au module de h . Elle est compatible avec une courbe géodésique fermée γ si $\gamma \cap F$ coïncide avec l'ensemble des sommets d'une décomposition de γ .

Lemme 6.2. Pour toute courbe de Jordan géodésique γ , il existe une décomposition en briques, géodésique, compatible avec γ .

Preuve du lemme 6.2 | Notons d le module de h . Commençons par remarquer que si on a une décomposition en briques de module d^0 , comme chaque brique est libre, il existe une courbe de Jordan de h -longueur égale à d^0 . Ceci prouve que $d^0 \leq d$. Il reste donc à trouver une décomposition dont le module satisfasse l'inégalité inverse. Soit maintenant γ une courbe de Jordan géodésique. En considérant une décomposition de γ , et en épaississant γ en un anneau, on trouve un graphe triadique F tel que (voir figure 11)

- { le complémentaire de F a exactement $d + 2$ composantes connexes;
- { la première contient 0, la deuxième est non bornée;
- { les adhérences des d composantes restantes, que l'on note $B_1; \dots; B_d$ sont libres, et leur réunion contient γ (voir figure 11).

D'après le corollaire 3.63 de [7], il existe une décomposition en briques F^0 qui étend F , au sens où chaque ensemble $B_1; \dots; B_d$ est inclus dans une brique de F^0 . Il est clair que le module d^0 de F^0 vérifie $d^0 \leq d$, ce que l'on voulait.

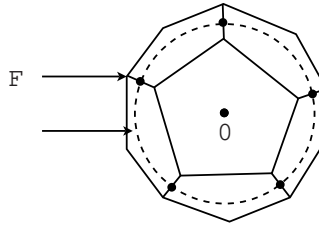


Fig. 11 { Epaisseur d'une courbe de Jordan geodesique

6.2 Preuve de la minoration

On considere une decomposition en briques F qui est geodesique pour h . Supposons d'abord que l'indice du point x soit plus petit que 1, on ecrit

$$\text{Indice}(h;0) = 1 - p < 1:$$

On identifie \mathbb{R}^2 a la sphere S^2 , en envoyant les points 0 et 1 respectivement sur deux points N et S de la sphere. On peut alors appliquer le resultat principal du texte [7] (theorem e F, p80) : il existe $2p$ croissants attractifs et repulsifs simpliciaux, d'interieurs deux a deux disjoints. La seule chose qui nous importe ici est que toute famille de briques de F dont la reunion separe 0 et 1 doit rencontrer chaque croissant ; par consequent, une telle famille doit contenir au moins $2p$ briques. Ceci prouve que le module de la decomposition F est superieur ou egal a $2p$. Comme la decomposition est geodesique, on en deduit la meme minoration pour le module de h . Dans le cas ou l'indice est $1 + p > 1$, on inverse les roles de 0 et 1 (ou, ce qui revient au meme, on conjugue h par l'application $z \mapsto \frac{1}{z}$). D'apres le theorem e de Lefschetz, l'indice du point 1 vaut alors $1 - p < 1$, ce qui nous ramene au cas precedent.

7 Geodesiques

Dans cette section, on demontre qu'une geodesique locale est une geodesique globale (proposition 3.4). On en deduit l'existence d'une suite geodesique pour le releve canonique \mathbb{H} , qui est π -equivariante (corollaire 3.5). Cette section utilise de maniere essentielle les resultats de l'article [8].

Remarquons que la proposition 3.4 est fautive pour $d = 2$: la figure 12 represente un homomorphisme de Brouwer ayant une geodesique locale d'ordre 2 qui n'est pas une geodesique globale.

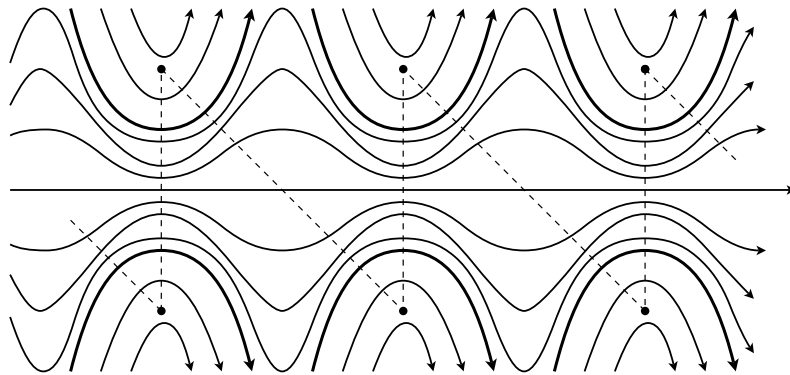


Fig. 12 { Une geodesique locale d'ordre 2 qui n'est pas une geodesique globale

7.1 Geodesiques locales et globales

On se donne un homomorphisme de Brouwer H . On commence par une remarque elementaire.

Remarque 7.1. Considerons $(x_i)_{i \in \mathbb{I}}$ une suite géodésique locale d'ordre 1 (autrement dit, deux points consécutifs sont à H-distance 0 ou 1). Soit $d \geq 3$. Pour que cette suite soit une suite géodésique locale d'ordre d , il suffit qu'on ait, pour tout entier i , $d_H(x_i; x_{i+d}) = d$ (autrement dit, il suffit que l'implication de la définition 3.3 soit vérifiée quand $j_i = j_{i+d} = d$). Cette remarque provient simplement de l'inégalité triangulaire.

La preuve de la proposition 3.4 repose sur l'existence des composantes de Reeb (théorème 2 de [8]), et sur le lemme suivant.

Lemme 7.2 ("déviations des géodésiques"). Soit $(x; y)$ un couple de points singulier pour H ou pour H^{-1} . On considère deux autres points x^0 et y^0 .

Si $d_H(x^0; x) \leq 1$ et $d_H(y; y^0) \leq 1$ alors $d_H(x^0; y^0) \leq 2$.

Preuve du lemme | L'hypothèse $d_H(x^0; x) \leq 1$ signifie qu'il existe un domaine de translation O_x contenant x et x^0 . De même, si $d_H(y; y^0) \leq 1$, il existe un domaine de translation O_y contenant y et y^0 . Puisque le couple $(x; y)$ est singulier pour H ou H^{-1} , il existe un point z de O_x qui a un itère $H^{-n}(z)$ dans O_y . Le résultat découle alors de l'inégalité triangulaire et de l'invariance de d_H (lemme 3.7 de [8]) :

$$\begin{aligned} d_H(x^0; y^0) &\leq d_H(x^0; z) + d_H(z; y^0) \\ &\leq d_H(x^0; z) + d_H(H^{-n}(z); y^0) \\ &\leq 1 + 1 = 2. \end{aligned}$$

Avant d'entamer la démonstration de la proposition, rappelons brièvement le contenu du théorème 2 de [8]. On considère une suite géodésique $(x_0; \dots; x_d)$, $d \geq 3$. Alors il existe $d-1$ composantes de Reeb (canoniques) $(F_1; G_1); \dots; (F_{d-1}; G_{d-1})$ pour le couple $(x_0; x_d)$. En particulier, chaque produit $F_i \times G_i$ est inclus dans l'ensemble singulier de H ou de H^{-1} . De plus, sauf éventuellement pour $i=1$, le bord F_i sépare les points $x_j; j < i$ des points $x_j; j \geq i$, et $d_H(x_{i-1}; F_i) = d_H(x_i; F_i) = 1$.⁸ Ceci est encore vrai pour $i=1$ sauf si la composante $(F_1; G_1)$ est dégénérée, c'est-à-dire si x_0 appartient à F_1 . On a des propriétés symétriques pour les bords G_i .

Preuve de la proposition 3.4 | Il suffit de voir que pour tout $d \geq 3$, une suite géodésique locale d'ordre d est encore une suite géodésique locale d'ordre $d+1$. Ceci se voit sur les sous-suites de longueur $d+2$; on considère donc une suite $(x_0; \dots; x_{d+1})$ géodésique locale d'ordre d . On veut montrer que $d_H(x_0; x_{d+1}) \leq d+1$ (l'autre inégalité est claire).

Puisque cette suite est géodésique locale d'ordre d , on a $d_H(x_0; x_d) = d$. On note $(F_1; G_1); \dots; (F_{d-1}; G_{d-1})$ les $d-1$ composantes de Reeb pour le couple $(x_0; x_d)$ fournies par le théorème 2 de [8].

Montrons, dans un premier temps, que $d_H(x_{d+1}; G_{d-1}) > 1$. Pour cela, rappelons que $d_H(x_{d-2}; F_{d-1}) = 1$ (voir ci-dessus). Si on avait également $d_H(x_{d+1}; G_{d-1}) \leq 1$, le lemme de "déviations des géodésiques" donnerait $d_H(x_{d-2}; x_{d+1}) \leq 2$, ce qui contredirait le fait que la suite (x_i) est une suite géodésique locale d'ordre d avec $d \geq 3$.

Ceci montre en particulier que le point x_{d+1} n'appartient pas au bord G_{d-1} , et par conséquent G_{d-1} sépare x_{d+1} des points $x_i, i < d$. Notons $O_{x_d}(G_{d-1})$ la composante connexe de $\mathbb{R}^2 \setminus G_{d-1}$ qui contient x_d . Puisque $d_H(x_d; x_{d+1}) = 1$, il existe un arc libre reliant ces deux points; et d'après ce qui précède, cet arc ne peut pas rencontrer l'ensemble G_{d-1} . Par conséquent le point x_{d+1} est dans $O_{x_d}(G_{d-1})$.

Considerons en n un arc géodésique allant de x_0 à x_{d+1} ; nous souhaitons montrer que cet arc est de H-longueur au moins $d+1$. Cet arc doit rencontrer successivement tous les bords des composantes de Reeb $(F_1; G_1); \dots; (F_{d-1}; G_{d-1})$. Considerons une décomposition de γ . Pour chaque entier $i = 1; \dots; d-1$, cette décomposition a un sommet entre F_i et G_i (voir par exemple [8], lemme 4.8). S'il n'y avait aucun autre sommet, alors le dernier sous-arc de la décomposition rencontrerait le bord G_{d-1} , ce qui contredirait l'inégalité $d_H(x_{d+1}; G_{d-1}) > 1$. Par conséquent la

⁸ On utilise la notation usuelle $d_H(x; E)$ pour le minimum de la distance entre x et un point de l'ensemble E .

decomposition a au moins d sommets, et a une H-longueur au moins egale a d + 1. Ceci prouve, comme attendu, que $d_H(x_0; x_{d+1}) \geq d + 1$.

7.2 Classe d'equivalence canonique de suites geodesiques

On se place maintenant sous les hypotheses habituelles : h est un homomorphisme du plan, preservant l'orientation, ayant uniquement 0, dont l'indice est different de 1. Il s'agit principalement de construire une suite geodesique pour le releve canonique \tilde{h} , \mathbb{Z} -equivariante. Nous commencons par le cas simple, ou l'indice est assez loin de 1 ; puis nous examinerons les cas d'indice 0 ou 2 ; enfin, nous montrerons l'unicite de la classe d'equivalence des suites geodesiques equivariantes.

Preuve du premier point du corollaire 3.5, lorsque l'indice est different de 0 ou 2 | Soit γ une courbe de Jordan de degre 1 geodesique pour h. Notons le module de h, et $(s_i)_{i \in \mathbb{Z}}$ les sommets d'une decomposition de γ , indexes dans l'ordre cyclique correspondant a l'orientation positive de γ . Soit $\tilde{\gamma} : \mathbb{R} \rightarrow \mathbb{R}^2$ le releve de γ au revêtement universel du plan entier du point xe. Il existe une suite $(\tilde{s}_i)_{i \in \mathbb{Z}}$ qui "releve" la suite $(s_i)_{i \in \mathbb{Z}}$, au sens ou

- { $(\tilde{s}_i) = s_{i \bmod d}$ pour tout i ;
- { les points $s_i; i \in \mathbb{Z}$ sont indexes dans l'ordre correspondant a l'orientation de γ (on a notamment $(\tilde{s}_i) = \tilde{s}_{i+d}$ pour tout i).

Il est clair que le releve d'une courbe qui est libre pour h est libre pour \tilde{h} . On en deduit que, pour tout entier i,

$$d_{\tilde{h}}(\tilde{s}_i; \tilde{s}_{i+1}) = 1:$$

En particulier, d'apres l'inegalite triangulaire, on a $d_{\tilde{h}}(\tilde{s}_{i+d}; \tilde{s}_i) \leq d$. D'autre part, puisque \tilde{h} est le releve canonique de h, tout arc libre pour \tilde{h} se projette en un arc libre pour h (proposition 3.1). On en deduit facilement que, pour tout entier i,

$$d_{\tilde{h}}(\tilde{s}_{i+d}; \tilde{s}_i) \geq d:$$

Finalement, on a $d_{\tilde{h}}(\tilde{s}_{i+d}; \tilde{s}_i) = d$ pour tout entier i. D'apres la remarque 7.1, la suite $(\tilde{s}_i)_{i \in \mathbb{Z}}$ est une suite geodesique locale d'ordre d pour \tilde{h} .

Lorsque l'indice du point xe est different de 0, 1, 2, le module d est minore par 4 (proposition 3.2). On peut alors appliquer la proposition 3.4, et la suite $(\tilde{s}_i)_{i \in \mathbb{Z}}$ est aussi une suite geodesique "globale".

Preuve du corollaire 3.5, lorsque l'indice vaut 0 ou 2 | On considere l'anneau $\mathbb{R}^2 = \mathbb{Z}^2$, qui est un revêtement intermediaire, a deux feuillets, de l'anneau $\mathbb{R}^2 = \mathbb{R}^2$:

$$\begin{array}{ccc} \mathbb{R}^2 & & \\ \# & & \\ \mathbb{R}^2 = \mathbb{Z}^2 & [f_0g & \mathbb{R}^2 \\ \# & & \# \\ \mathbb{R}^2 = \mathbb{Z}^2 & [f_0g & \mathbb{R}^2 \end{array}$$

(dans ce diagramme, la demiere arche est un revêtement a deux feuillets ramifie au-dessus du point 0). L'homomorphisme \tilde{h} induit un homomorphisme h_2 sur l'anneau $\mathbb{R}^2 = \mathbb{Z}^2$, qui s'etend en un homomorphisme du plan \mathbb{R}^2 qui xe uniquement le point 0, et que l'on note encore h_2 . Cet homomorphisme est, bien sûr, l'un des deux releves de l'homomorphisme h par le revêtement a deux feuillets. On suppose que l'indice du point xe de h est different de 1. Montrons alors que, pour le nouvel homomorphisme h_2 , le point xe est d'indice different de 0; 1; 2 ; plus precisement, on va obtenir les relations suivantes.

Assertion 7.3.

$$\text{Indice}(h_2; 0) = \text{Indice}_2(\tilde{h}) + 1 = 2 \text{ Indice}(\tilde{h}) + 1 = 2 (\text{Indice}(h; 0) - 1) + 1:$$

La deuxième égalité suit immédiatement des définitions de l'indice de f_1 par rapport aux translations τ et τ^2 . La dernière égalité caractérise le relevé canonique f_1 de h (proposition 3.1). Il nous reste à montrer la première. Comme nous allons faire deux remarques.

1. Un arc libre pour f_1 se projette par τ en un arc libre pour h (propriété du relevé canonique); par conséquent sa projection au revêtement intermédiaire est encore un arc libre pour h_2 .
2. Il existe une droite de Brouwer⁹ pour h d'extrémités 0 et 1 : ceci suit par exemple du théorème principal de [7] (théorème D, p31). Elle se relève clairement en une droite de Brouwer pour h_2 .

La première égalité ci-dessus découle alors du lemme suivant (dont la preuve est reléguée plus bas). Le lemme est appliqué en remplaçant h par h_2 , τ par τ^2 , et donc par l'application quotient $R \rightarrow R/\tau^2$. Les deux remarques précédentes consistent en fait à vérifier les hypothèses dans ce cadre.

Lemme 7.4. Soit h un homéomorphisme du plan, préservant l'orientation, ayant uniquement le point 0. Supposons que h admette un relevé f_1 tel que l'image par τ de tout arc libre pour f_1 est un arc libre pour h . Supposons de plus que h admette une droite de Brouwer d'extrémités 0 et 1. Alors on a la relation

$$\text{Indice}(h;0) = \text{Indice}(f_1) + 1:$$

En particulier, si $\text{Indice}(h;0)$ est différent de 1, alors f_1 est le relevé canonique de h .

Nous pouvons maintenant achever la preuve du corollaire 3.5. On reprend les notations de la preuve du corollaire dans le "bon" cas d'indice différent de 0;1;2 : en relevant les sommets d'une courbe de Jordan géodésique pour h , on a construit une suite $(\alpha_i)_{i \in \mathbb{Z}}$, et il s'agit de voir qu'elle est une suite géodésique globale pour f_1 . Pour fixer les idées, supposons que le point fixe de h soit d'indice 2. Remarquons tout d'abord qu'il peut arriver que le module de h soit supérieur ou égal à 3; dans ce cas, la suite est géodésique locale d'ordre 3, et la proposition 3.4 s'applique comme avant, qui nous dit que c'est aussi une suite géodésique globale. On peut donc se restreindre au cas où le module de h est égal à 2. D'après l'affirmation 7.3, le point fixe de h_2 est d'indice 3. Le module de h_2 est donc minoré par 4. D'autre part, comme h a pour module 2, et qu'un arc libre pour h se relève clairement en un arc libre pour h_2 , le module de h_2 est aussi majoré par 4. On a donc

$$\text{Module}(h_2) = 4 = 2 \cdot \text{Module}(h):$$

Par conséquent, la courbe γ se relève au revêtement à deux feuillets en une courbe de Jordan γ_2 géodésique pour h_2 . On peut maintenant appliquer le "bon" cas à la courbe γ_2 : la suite de ses sommets se relève en une suite géodésique globale pour f_1 . Cette suite n'est autre que la suite $(\alpha_i)_{i \in \mathbb{Z}}$ relevée de la suite des sommets de γ . Ceci termine la preuve.

Preuve du lemme 7.4 | La preuve est une variante d'un morceau de la construction du relevé canonique de [7] (proposition 4.17). Soit e une droite topologique qui relève τ ; c'est une droite de Brouwer pour f_1 . On commence par montrer qu'on a l'une des deux situations

$$1(e) < f_1(e) < e \text{ ou } e < f_1(e) < (e):$$

En effet, dans le cas contraire, puisque $h(\cdot)$ est disjointe de e , on aurait $f_1(e) < 1(e) < e$ ou $e < (e) < f_1(e)$. On en déduit que la bande délimitée par e et (e) est libre par f_1 , et on trouverait ainsi un arc libre pour f_1 qui se projette en un arc qui n'est pas libre pour h . Ceci contredit nos hypothèses.

Pour fixer les idées, on se place dans le cas où $e < f_1(e) < (e)$. Tous les itérés positifs de e sont alors inclus dans la bande délimitée par e et (e) : dans le cas contraire, le domaine de

⁹ Rappelons la définition. On appelle droite topologique une application continue injective $f: \mathbb{R} \rightarrow \mathbb{R}^2 \setminus \{0\}$ qui se prolonge continûment en une application de la droite achevée $f: \mathbb{R} \cup \{\pm\infty\} \rightarrow \mathbb{R}^2 \setminus \{0\}$ envoyant $-\infty$ et $+\infty$ sur les points 0 ou 1. Si la droite topologique f va de 0 à 1, et si elle est disjointe de son image $h(\cdot)$, on dit que c'est une droite de Brouwer d'extrémités 0 et 1.

translation engendrée par e rencontrerait (ϑ) , et on trouverait un arc libre pour \mathfrak{H} reliant un point \mathfrak{x} sur e au point (\mathfrak{x}) (voir la proposition 3.4 de [8]); la projection par π de cet arc ne serait pas un arc, contrairement aux hypothèses.

Ce qui précède montre que la situation est la suivante :

$$e < \mathfrak{H}^1(\vartheta) < \mathfrak{H}^2(\vartheta) < \mathfrak{H}^3(\vartheta) < (\vartheta):$$

Quitte à conjuguer h , on peut supposer que les ensembles $\mathfrak{H}^i(\vartheta)$ sont des demi-droites euclidiennes issues de 0, disposées à angles droits, et qu'on a

$$\mathfrak{H}^i(\vartheta) = \frac{i}{4} \mathbb{R}; \quad i = 0 :: 3$$

(et aussi $(\vartheta) = \text{flg } \mathbb{R}$). En notant $e : \mathbb{R}^2 \rightarrow \mathbb{R}$ la première coordonnée, on en déduit facilement la propriété (?) :

$$\text{Pour tout } \mathfrak{x} \in \mathbb{R}^2; \quad \mathfrak{H}^j(\mathfrak{x}) \cap e(\mathfrak{x}) \neq \emptyset \text{ si } j < \frac{1}{2}:$$

La relation d'indice en découle : c'est exactement l'objet du lemme 4.41 de [7].

8 Droites de Brouwer

Dans cette section, nous montrons comment construire une droite de Brouwer à l'intérieur de chaque composante de Reeb. D'une part, ceci sera un outil important dans la preuve de la formule d'indice (section 9). D'autre part, l'existence d'une certaine famille de droites de Brouwer sera l'une des propriétés dynamiques liées sur l'indice par quarts-de-tour (section 12).

Rappelons qu'une droite de Brouwer pour un homéomorphisme de Brouwer H est une droite topologique, disjointe de son image par H , et qui sépare son image $H(\cdot)$ de son image réciproque $H^{-1}(\cdot)$.

Proposition 8.1. Soit H un homéomorphisme de Brouwer, et F une décomposition en briques pour H . On considère une composante de Reeb $(F; G)$ pour H (pour un couple de points $(x; y)$ quelconques). On suppose que F et G sont invariants par H . Alors il existe une droite de Brouwer pour H , incluse dans F , qui sépare F et G .

On rappelle qu'une chaîne de briques est une suite $(B_0; \dots; B_k)$ de briques de la décomposition F , telle que $H(B_0)$ rencontre B_1 , $H(B_1)$ rencontre B_2 , ..., $H(B_{k-1})$ rencontre B_k . Le lemme de Franks pour les briques dit que les briques d'une chaîne de briques sont toutes distinctes (cf. [7], lemme 3.65 p64).

Lemme 8.2. Soit $(x; y)$ un couple de points singulier pour un homéomorphisme de Brouwer H . Alors il n'existe pas de chaîne de briques $(B_0; \dots; B_k)$ telle que B_0 contienne y et B_k contienne x .

Preuve du lemme 8.2 | On suppose, par l'absurde, qu'il existe une chaîne de briques comme dans l'énoncé. Dans un premier temps, pour simplifier, supposons que x et y appartiennent respectivement à l'intérieur des briques B_k et B_0 . Si le couple $(x; y)$ est singulier, par définition, il existe un itère positif de B_k qui rencontre B_0 . On peut alors prolonger la suite $(B_0; \dots; B_k)$ en une chaîne de briques de B_0 à B_0 , ce qui est interdit par le lemme de Franks rappelé ci-dessus.

Traisons le cas général. Remarquons qu'un point est toujours inclus dans l'intérieur de la réunion des briques qui le contiennent. D'autre part le couple $(H(x); H^{-1}(y))$ est aussi singulier. Il existe donc une brique B_{k+1} qui contient $H(x)$, et une brique B_{-1} qui contient $H^{-1}(y)$, telles qu'un itère positif de B_{k+1} rencontre B_{-1} . La suite $(B_{-1}; B_0; \dots; B_k; B_{k+1})$ est encore une chaîne de briques, et on peut la prolonger en une chaîne de briques de B_{-1} à B_{-1} , ce qui est interdit.

Rappelons encore quelques définitions du texte [7]. Un attracteur strict est un ensemble E tel que $H(E)$ est inclus dans l'intérieur de E . Étant donnée une brique B , l'ensemble $A^+(B)$ est le plus petit ensemble qui contient B , qui est une réunion de briques de F , et qui est un attracteur strict. C'est un ensemble connexe.

Preuve de la proposition 8.1 | On se place dans le cas où $F \cap G$ est singulier pour H (le cas où $F \cap G$ est singulier pour H^{-1} est bien sûr symétrique). On considère l'ensemble

$$A^+(G) := \bigcup \{ A^+(B); B \text{ brique rencontrant } G \} :$$

On montre facilement que cet ensemble contient G dans son intérieur, qu'il est connexe, que c'est un attracteur strict. D'après le lemme 8.2, il est disjoint de F . Soit alors C la composante connexe de la frontière de $A^+(G)$ qui sépare F et G . C'est une droite topologique, elle est incluse dans le 1-squelette de la décomposition F . Comme elle est incluse dans la frontière d'un attracteur strict, elle est libre. On vérifie facilement que C sépare $H^{-1}(\cdot)$ de $H(\cdot)$ (en utilisant que F et G sont connexes et invariants par H , et que C sépare F et G). C'est donc une droite de Brouwer.

9 Formule d'indice

Dans cette section, nous prouvons le théorème 4-bis, qui relie l'indice du relevé canonique à l'indice symbolique. La preuve utilise la construction de droites de Brouwer dans les composantes de Reeb (section 8), et la notion d'indice partiel entre deux droites de Brouwer ([7], section 3.3).

On considère un homéomorphisme h du plan, vérifiant les hypothèses habituelles (h préserve l'orientation, le point 0 est son unique point fixe, l'indice de Poincaré-Lefschetz est différent de 1). On reprend les notations du paragraphe 3.3 (\tilde{h} est le relevé canonique, \tilde{c}_k une droite géodésique relevée d'une courbe de Jordan géodésique c_k , $(\mathbb{R}_k)_{k \in \mathbb{Z}}$ la suite des sommets, $(\mathbb{F}_k; \mathbb{G}_k)_{k \in \mathbb{Z}}$ la suite de composantes de Reeb, et $\tilde{M}([\cdot])$ le mot périodique). L'ordre des bords des composantes de Reeb est donné par $\mathbb{F}_k < \mathbb{G}_k < \mathbb{F}_{k+1} < \mathbb{G}_{k+1}$ (voir l'appendice B).

Preuve du théorème 4-bis | On se donne une décomposition en briques géodésiques F pour h (lemme 6.2), qui est compatible avec la courbe de Jordan géodésique c . L'ensemble $\mathbb{F} = \bigcup \mathbb{F}_k$ est une décomposition en briques pour \tilde{h} (proposition 3.1). L'intersection de cette décomposition avec la droite \tilde{c}_k est une suite de sommets d'une décomposition de \tilde{c}_k , et on pourra supposer que

$$\mathbb{F} \setminus \tilde{c}_k = \{ \tilde{f}_k; k \in \mathbb{Z} \} :$$

On applique maintenant la proposition 8.1 : pour chaque entier k , il existe une droite de Brouwer e_k , incluse dans \mathbb{F} , qui sépare les deux bords de la composante de Reeb $(\mathbb{F}_k; \mathbb{G}_k)$. On a donc nécessairement $e_k \setminus \tilde{c}_k = \{ \tilde{f}_k \} g$: notamment, l'arc $\tilde{c}_k = [\tilde{f}_k \tilde{f}_{k+1}]$ est un arc libre qui va de e_k à e_{k+1} . D'autre part, puisque la décomposition \mathbb{F} est invariante par h , et que la famille des composantes de Reeb est équivariante, on peut supposer que $e_{k+d} = h^d(e_k)$. L'ordre des composantes de Reeb et des droites de Brouwer est alors donné par :

$$\mathbb{F}_k < e_k < \mathbb{G}_k < \mathbb{F}_{k+1} < e_{k+1} < \mathbb{G}_{k+1}$$

On oriente chaque droite e_k du bas vers le haut (voir la figure 13), et on note $O_g(e_k)$ le demi-plan topologique ouvert situé à gauche de e_k . La droite e_k est orientée par l'action de h (de la gauche vers la droite sur la figure); on note $O_s(\cdot)$ le demi-plan topologique ouvert situé à droite de \tilde{c}_k . On considère l'indexation $(m_i)_{i \in \mathbb{Z}}$ du mot $\tilde{M}([\cdot])$ compatible avec les notations qui précèdent, autrement dit :

- { $m_{2k} = !$ si et seulement si $\tilde{h}(\tilde{c}_{k-1}) \setminus \tilde{c}_k \in \mathbb{F}_k$; (définition 3.11 de [8]);
- { $m_{2k+1} = \#$ si et seulement si \mathbb{G}_k et \mathbb{F}_{k+1} sont de type dynamique Nord-Sud (définition 8.1 de [8]).

Voici deux autres liens entre le mot $\tilde{M}([\cdot])$ et la dynamique de \tilde{h} :

1. la échelle m_{2k} vaut ! si et seulement si $\tilde{h}(e_k)$ est située à droite de e_k ;
2. supposons que $m_{2k} = !$ et $m_{2k+2} = \#$; alors $m_{2k+1} = \#$ si et seulement si $\tilde{h}(\tilde{c}_k) \in O_s(\cdot)$.

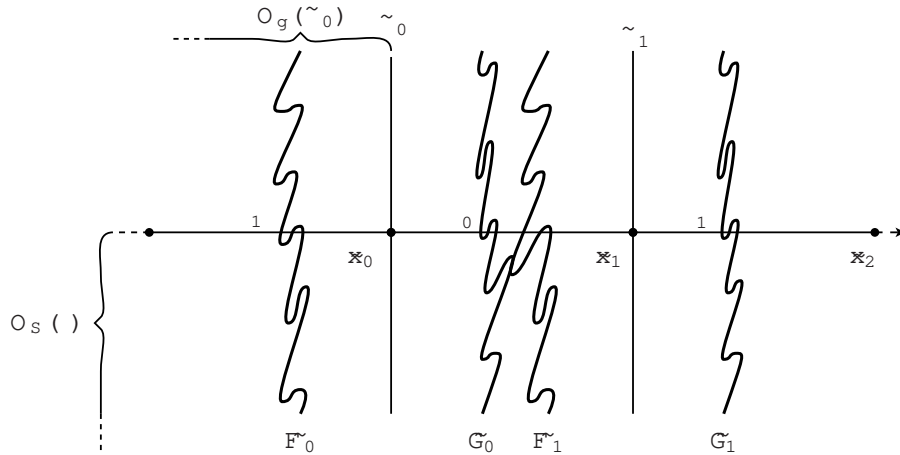


Fig. 13 { P reuve de la formule d'indice pour \mathfrak{F}

Le deuxièm e point est l'a mation 8.5 de [8]. Expliquons le prem ier point, par contrapposée. Si $\mathfrak{F}(e_k)$ est a gauche de e_k , alors le dem iplan $O_g(e_k)$ est attractif, i. e. on a

$$\mathfrak{F}(O_g(e_k)) \subset O_g(e_k):$$

D ans ce cas, la composante $(\mathbb{F}_k; \mathbb{G}_k)_{k \in \mathbb{Z}}$ ne peut pas être singulière pour \mathfrak{F} . Par de nition des composantes de Reeb, elle est donc singulière pour \mathfrak{F}^{-1} , et la échelle m_{2k} vaut $-\infty$ ([8], theorem e 1-bis, n de la section 4).

Nous pouvons maintenant commencer a calculer l'indice de \mathfrak{F} par rapport a la translation T .

$$\begin{aligned} \text{Indice}(\mathfrak{F}; T) &= \text{IP}(e_0; e_d) \\ &= \sum_{k=0}^{d-1} \text{IP}(e_k; e_{k+1}): \end{aligned}$$

La prem iere egalite est une consequence im m ediate des de nitions de l'indice de \mathfrak{F} par rapport a T et de l'indice partiel. La deuxièm e vient de la relation d'additivite ([7], lem m e 3.38, p49). D 'autre part, par de nition, l'indice partiel du mot cyclique est donne par

$$\begin{aligned} \text{IP}_c((m_k)_{k \in \mathbb{Z}}) &= \sum_{i=0}^{d-1} \text{IP}(m_i m_{i+1}) \\ &= \sum_{k=0}^{d-1} \text{IP}(m_{2k} m_{2k+1} m_{2k+2}): \end{aligned}$$

La formule decoulera alors im m ediatem ent du lem m e-cle ci-dessous.

Lem m e 9.1. Pour tout entier k ,

$$\text{IP}(e_k; e_{k+1}) = \text{IP}(m_{2k} m_{2k+1} m_{2k+2}):$$

P reuve du lem m e | Il s'agit d'utiliser les liens entre le mot et la dynamique. Etudions d'abord le cas ou $m_{2k} = m_{2k+2}$. Alors l'indice partiel symbolique $\text{IP}(m_{2k} m_{2k+1} m_{2k+2})$ est nul (pratiquement par de nition). D 'autre part, d'apres le point 1 ci-dessus, \mathfrak{F} pousse les deux droites e_k et e_{k+1} dans le m êm e sens; autrement dit, avec le vocabulaire du texte [7], le couple $(e_k; e_{k+1})$ est indifferent. De plus, l'arc γ_k est libre et joint les deux droites. Par consequent, l'indice partiel entre les deux droites est nul (lem m e 3.39 de [7], p50). La conclusion du lem m e est donc verifiee dans le cas indifferent.

Il reste à traiter les cas attractif et repulsif. Pour fixer les idées, supposons que le mot est $(1 \#)$, les autres cas se traitant par un raisonnement similaire. L'indice partiel du mot symbolique vaut alors $l=2$. D'après le premier point ci-dessus, le couple $(e_k; e_{k+1})$ est attractif; d'après le deuxième point, l'image de l'arc libre e_k est située dans le demi-plan $O_S(\cdot)$, en dessous de \cdot . On peut encore appliquer le lemme 3.39 de [7], qui assure que l'indice partiel vaut $l=2$, comme attendu.

10 Compatibilité des composantes de Reeb

Dans cette section, on montre que le revêtement établit une correspondance entre les composantes de Reeb pour \mathfrak{h} associées à la géodesique $[\cdot]$ et les composantes de Reeb minimales de h .

10.1 Un lemme de topologie

On considère une courbe de Jordan $\gamma : S^1 \rightarrow \mathbb{R}^2 \setminus \{0\}$ de degré 1, et son relèvement $\tilde{\gamma} : \mathbb{R} \rightarrow \mathbb{R}^2$. Rappelons quelques notations et définitions de [8]. La droite topologique étant orientée par son paramétrage, on note $O_N(\cdot)$ et $O_S(\cdot)$ les deux composantes connexes du complémentaire de γ , situées respectivement à gauche et à droite de γ . Notons que $O_N(\cdot)$ et $O_S(\cdot)$ sont respectivement des voisinages pointés des points 0 et 1 dans la sphere $\mathbb{R}^2 \setminus \{0\}$. On se donne une partie fermée \mathcal{C} du plan, qui rencontre γ selon un ensemble compact. On définit une compactification "Nord-Sud" de \mathcal{C} en munissant l'ensemble $\mathcal{C} \setminus \{0, 1\}$ d'une topologie compatible avec celle de \mathcal{C} , telle que des bases respectives de voisinages de N et S sont données par $f_{O_N(\cdot)} \cap K$; K compact du plan et $f_{O_S(\cdot)} \cap K$; K compact du plan: Comme dans [8], on dira que \mathcal{C} sépare les deux bouts de γ si \mathcal{C} sépare les deux composantes connexes non bornées de $\mathbb{R}^2 \setminus \mathcal{C}$. Dans le cas où \mathcal{C} est connexe, ceci revient à dire que l'ensemble $\mathcal{C} \setminus \{0, 1\}$ est encore connexe, ou encore que N et S sont dans l'adhérence de \mathcal{C} . On étend le revêtement en posant $\hat{\gamma}(N) = 0$; $\hat{\gamma}(S) = 1$: On définit les ensembles $C = \hat{\gamma}(\mathcal{C})$ et $\hat{C} = C \setminus \{0, 1\}$.

Lemme 10.1 (compatibilité topologique). Soit \mathcal{C} un fermé du plan, connexe, qui sépare les bouts de γ . On suppose de plus que

1. les ensembles de la famille $f^{-q}(\mathcal{C}); q \in \mathbb{Z}$ sont deux à deux disjoints,
2. cette famille est localement finie (aucun compact du plan ne rencontre une infinité d'éléments de cette famille).

On a alors :

1. L'ensemble C est fermé (dans $\mathbb{R}^2 \setminus \{0\}$) et connexe;
2. l'application $\hat{\gamma}$ induit un homéomorphisme de $\mathcal{C} \setminus \{0, 1\}$ sur \hat{C} .

On appliquera ce lemme aux bords des composantes de Reeb de \mathfrak{h} , et aussi aux composantes "renversées", voir plus loin.

Preuve du lemme 10.1 | La démonstration est laissée au lecteur.

10.2 Compatibilité des composantes de Reeb

Soit h un homéomorphisme du plan, préservant l'orientation, ayant uniquement 0, d'indice différent de 1. On considère le relèvement \mathfrak{h} fourni par la proposition 3.1.

Preuve de la proposition 3.7 | On reprend les notations de la section 3.3. Soit $(\mathbb{F}; \mathbb{G})$ une composante de Reeb minimale pour \mathfrak{h} associée à $[\cdot]$. Quitte à décaler les indices, on supposera que $(\mathbb{F}; \mathbb{G}) = (\mathbb{F}_0; \mathbb{G}_0)$. Rappelons que $O(\mathbb{F}; \mathbb{G})$ désigne l'unique composante connexe de $\mathbb{R}^2 \setminus (\mathbb{F} \cup \mathbb{G})$ dont l'adhérence rencontre à la fois \mathbb{F} et \mathbb{G} . On notera \mathcal{C} l'adhérence de $O(\mathbb{F}; \mathbb{G})$; \mathcal{C} est en fait égal

a $\mathbb{F} \cup \{0\} \cup (\mathbb{F}; \mathbb{G}) \cup \mathbb{G} \cup \mathbb{C}^{10}$. On veut appliquer le lemme 10.1 à l'ensemble \mathbb{C} . Il est clair que \mathbb{C} est fermé, connexe, et sépare les bouts de \mathbb{R}^2 . Montrons que les éléments de la famille $f^{-q}(\mathbb{C})$; $q \in \mathbb{Z}$ sont deux à deux disjoints, et que la famille est localement finie. Comme $(\mathbb{F}; \mathbb{G})$ est la composante de Reeb minimale associée au couple $(\mathbf{x}_1; \mathbf{x}_1)$, par unicité des composantes de Reeb minimales, $(f^{-q}(\mathbb{F}); f^{-q}(\mathbb{G}))$ est la composante de Reeb minimale associée au couple $(f^{-q}(\mathbf{x}_1); f^{-q}(\mathbf{x}_1)) = (\mathbf{x}_{q+1}; \mathbf{x}_{q+1})$, où d est le module de h . Puisque $d \geq 2$, on a donc

$$\mathbb{F} < 0 \cup (\mathbb{F}; \mathbb{G}) < \mathbb{G} < f^{-q}(\mathbb{F}) < f^{-q}(0 \cup (\mathbb{F}; \mathbb{G})) < f^{-q}(\mathbb{G}) :$$

On en déduit que les ensembles \mathbb{C} et $f^{-q}(\mathbb{C})$ sont disjoints. Supposons maintenant que la famille n'est pas localement finie. Il existe alors un point \mathbf{x} dont tout voisinage V rencontre une infinité d'éléments de la famille. Choisissons un voisinage V connexe et libre, et notons q_1 et q_2 deux entiers tels que $f^{-q_1}(\mathbb{C})$ et $f^{-q_2}(\mathbb{C})$ rencontrent V , avec $q_1 < q_2$. Comme le module d est plus grand que 2, il existe une composante de Reeb $(\mathbb{F}_k; \mathbb{G}_k)$ située entre $f^{-q_1}(\mathbb{C})$ et $f^{-q_2}(\mathbb{C})$:

$$f^{-q_1}(\mathbb{C}) < \mathbb{F}_k < \mathbb{G}_k < f^{-q_2}(\mathbb{C}) :$$

Puisque V est connexe et rencontre les deux ensembles extrêmes, il doit rencontrer aussi \mathbb{F}_k et \mathbb{G}_k . Comme V est libre, on a trouvé un point \mathbf{x} de \mathbb{F}_k et un point \mathbf{y} de \mathbb{G}_k tels que $d_{\mathbb{R}^2}(\mathbf{x}; \mathbf{y}) = 1$. Mais puisque $(\mathbb{F}_k; \mathbb{G}_k)$ est une composante de Reeb, le couple $(\mathbf{x}; \mathbf{y})$ est singulier pour \mathbb{F} ou \mathbb{F}^{-1} , et on devrait avoir $d_{\mathbb{R}^2}(\mathbf{x}; \mathbf{y}) = 2$ ([8], lemme 4.2), ce qui est absurde. La famille est donc localement finie, et le lemme 10.1 s'applique : on en déduit que l'application h est un homéomorphisme de $\mathbb{C} \cup \mathbb{F} \cup \mathbb{G}$ sur son image, et que les ensembles $F = \mathbb{F}$ et $G = \mathbb{G}$ sont fermés dans $\mathbb{R}^2 \setminus \text{Im } h$, connexes, et \hat{F} et \hat{G} sont encore connexes. Ceci prouve que F et G ont la topologie requise pour former une composante de Reeb (deux premiers points de la définition 2.3).

Montrons alors qu'il existe $\epsilon = \epsilon_1$ tel que tout couple $(\mathbf{x}; \mathbf{y}) \in \mathbb{F} \times \mathbb{G}$ est singulier via l'ouvert $O(\mathbb{F}; \mathbb{G})$ pour l'homéomorphisme h . Rappelons que les ensembles \mathbb{F} , $O(\mathbb{F}; \mathbb{G})$ et \mathbb{G} sont invariants par \mathbb{R} ([8], lemme 7.10, point 3). Par définition des composantes de Reeb, tout couple $(\mathbf{x}; \mathbf{y})$ dans $\mathbb{F} \times \mathbb{G}$ est singulier pour \mathbb{F} ou \mathbb{F}^{-1} , et il s'agit de voir que $(\mathbf{x}; \mathbf{y})$ est singulier via l'ouvert $O(\mathbb{F}; \mathbb{G})$. Soit $O_{\mathbb{C}}(\mathbb{F})$ la composante connexe du complémentaire de \mathbb{F} qui contient \mathbb{C} . On note F le complémentaire de $O_{\mathbb{C}}(\mathbb{F})$. On définit symétriquement l'ensemble G . Les ensembles F et G sont fermés et contiennent respectivement les ensembles \mathbb{F} et \mathbb{G} , ils sont invariants par \mathbb{R} , et on a une partition du plan

$$\mathbb{R}^2 = F \cup O(\mathbb{F}; \mathbb{G}) \cup G :$$

Soient $V_{\mathbf{x}}$ un voisinage de \mathbf{x} disjoint de G , et $V_{\mathbf{y}}$ un voisinage de \mathbf{y} disjoint de F . Pour tout entier n , $\mathbb{R}^n(V_{\mathbf{x}}) \setminus V_{\mathbf{y}} \subset O(\mathbb{F}; \mathbb{G})$. Ceci prouve que le couple singulier $(\mathbf{x}; \mathbf{y})$ est singulier via l'ouvert $O(\mathbb{F}; \mathbb{G})$.

Les ensembles \mathbb{F} et \mathbb{G} sont invariants par \mathbb{R} , par conséquent F et G sont invariants par h . L'ensemble $O(\mathbb{F}; \mathbb{G})$ coïncide avec le domaine $O(F; G)$ (par définition, voir l'appendice B). Il est alors clair que $F \times G$ est inclus dans l'ensemble des couples singuliers pour h^{-1} via l'ouvert $O(F; G)$. Le couple $(F; G)$ est donc une composante de Reeb. On montre facilement que la minimalité de la composante de Reeb $(\mathbb{F}; \mathbb{G})$ entraîne celle de $(F; G)$.

Nous avons montré la première implication de la proposition. Montrons la deuxième. Soit $(F; G)$ une composante de Reeb pour h . On a l'ordre cyclique

$$F < O(F; G) < G < O(G; F) < F :$$

Par définition de l'ordre cyclique, on peut choisir une composante connexe \mathbb{F} de $O(F)$ et une composante connexe \mathbb{G} de $O(G)$ de façon à ce que

$$\mathbb{F} < O(\mathbb{F}; \mathbb{G}) < \mathbb{G} < O(\mathbb{G}; \mathbb{F}) < \mathbb{F} ;$$

et on a $O(\mathbb{F}; \mathbb{G}) = O(F; G)$. L'ensemble $\mathbb{C} := \mathbb{F} \cup O(\mathbb{F}; \mathbb{G}) \cup \mathbb{G}$ est alors disjoint de ses images par les applications f^{-q} . D'autre part, puisque son image par h est fermée, il est fermé, et la famille de ses

¹⁰ En effet, la \mathbb{R} -boule $B_1(\mathbf{x}_1)$ est un ouvert connexe disjoint de \mathbb{F} , et son adhérence contient \mathbb{F} par construction des composantes de Reeb : voir [8], section 4.3.

iteres par \tilde{h} est localement \tilde{h} -invariante : d'après le lemme 10.1, l'application \tilde{h} induit un homéomorphisme de \mathbb{C} sur son image.

D'autre part, les ensembles F et G sont invariants par h (par hypothèse) ; comme h préserve l'orientation, l'ensemble $O(F;G)$ est aussi invariant par h . Par conséquent, l'ensemble \mathbb{C} est invariant ou libre pour \tilde{h} . Montrons qu'il n'est pas libre : dans le cas contraire, on considère un arc γ , dans l'ouvert connexe invariant $O(F;G)$, reliant un point a son image par h ; le relèvement dans $O(\mathbb{F};\mathbb{C})$ serait un arc libre, bien que γ ne soit pas libre, ce qui contredit la propriété de relèvement canonique (proposition 3.1). On en déduit que \mathbb{F} et \mathbb{C} sont invariants par \tilde{h} ; l'application conjugue les restrictions respectives de \tilde{h} et h . Notamment, le produit $\mathbb{F} \times \mathbb{C}$ est singulier pour \tilde{h} ou pour \tilde{h}^{-1} . On considère alors la suite géodésique $(\mathbb{R}_k)_{k \in \mathbb{Z}}$. Pour tout k assez grand, l'ensemble \mathbb{F} sépare le point \mathbb{R}_k de l'ensemble $\mathbb{C} \setminus \mathbb{F}$; de même, l'ensemble \mathbb{C} sépare le point \mathbb{R}_k de l'ensemble $\mathbb{F} \setminus \mathbb{C}$; ceci montre que le couple $(\mathbb{F};\mathbb{C})$ est une composante de Reeb pour $(\mathbb{R}_k; \mathbb{R}_k)$. On montre facilement que la minimalité de la composante de Reeb $(F;G)$ entraîne celle de $(\mathbb{F};\mathbb{C})$. D'après le lemme 7.8 de [8], $(\mathbb{F};\mathbb{C})$ est bien une composante de Reeb associée à la suite géodésique $(\mathbb{R}_i)_{i \in \mathbb{Z}}$, ce qui termine la preuve de la deuxième implication de la proposition.

Quatrième partie

Conséquences dynamiques

Dans toute cette partie, on considère un homéomorphisme h du plan, vérifiant les hypothèses habituelles (h préserve l'orientation, h fixe uniquement 0 , avec un indice différent de 1). Dans la section 11, on construit des ouverts de points ayant la même dynamique, indiquée par les étiquettes du mot $M(h)$ (théorème 5). En corollaire, on précise un théorème de Pelikan et Slaminka ([10]) : l'indice de Poincaré-Lefschetz d'un point fixe isolé pour un homéomorphisme de surface qui préserve une bonne mesure est inférieur ou égal à 1 , et son indice par quarts-de-tour est trivial. Dans la section 12, on montre comment lire sur le mot $M(h)$ l'existence de droites de Brouwer organisées en croissants et pétales, ce qui précise le théorème D de [7] (p31). Dans la section 13, on montre une propriété dynamique des secteurs invariants, et on propose une conjecture sur l'existence d'ensembles stables et instables canoniques.

11 Ouverts dynamiquement cohérents

Dans cette partie, on associe canoniquement à h des ouverts, en nombre égal au module de h , constitués de points dont le comportement dynamique est indiqué par l'indice par quarts-de-tour. On en déduira que l'indice par quarts-de-tour d'un homéomorphisme conservatif est trivial.

11.1 Définition

On considère le relèvement canonique \tilde{h} de h . Dans ce qui précède, on a associé (canoniquement) à h une classe d'équivalence $[\]$ de suites géodésiques équivariantes. La suite de composantes de Reeb associée à $[\]$ est désignée par $(\mathbb{F}_k; \mathbb{C}_k)_{k \in \mathbb{Z}}$. Pour chaque entier k , on définit un ensemble \mathcal{C}_k de la manière suivante. Choisissons une courbe de Jordan géodésique γ , et $\tilde{\gamma}$ la droite topologique qui relève γ . Donnons-nous, comme avant, une décomposition minimale de $\tilde{\gamma}$ qui relève une décomposition de γ ; cette décomposition admet exactement un sommet \mathbb{R}_k dans l'ouvert $O(\mathbb{F}_k; \mathbb{C}_k)$ entre \mathbb{F}_k et \mathbb{C}_k . On définit \mathcal{C}_k comme l'ensemble des points \mathbb{R}_k obtenus de cette manière (pour tous les choix possibles d'une courbe géodésique γ munie d'une décomposition).

Proposition 11.1. L'ensemble \mathcal{C}_k est un ouvert non vide, invariant par \tilde{h} , inclus dans l'ouvert $O(\mathbb{F}_k; \mathbb{C}_k)$ situé entre \mathbb{F}_k et \mathbb{C}_k . La suite $(\mathcal{C}_k)_{k \in \mathbb{Z}}$ est équivariante, elle est canoniquement associée à h .

Preuve | Le fait d'être libre est une propriété stable : tout arc assez proche d'un arc libre est libre. Le fait que U_k soit ouvert provient essentiellement de cette remarque. Le reste de la proposition est immédiat.

Definition 11.2. L'ensemble $U_k := \bigcup_{z \in \mathbb{C}} U_k(z)$ est appelé ouvert des sommets associé à la composante de Reeb $(F_k; G_k)$.

Theorem 5. La suite d'ouverts

$$U_k(z)_{k \in \mathbb{Z}}$$

est canoniquement associée à h ; chacun de ces ouverts est constitué de points ayant la même dynamique, qui est indiquée par l'indice par quarts-de-tour : plus précisément, pour tout point x dans U_k , on a

$$I(x) = (m_{2k-1}, m_{2k}, m_{2k+1}) \text{ et } I^2(x) = (m_{2k-1}, m_{2k}, m_{2k+1}) :$$

Preuve | Ici encore, tout est évident : notamment, la dynamique des sommets est déjà donnée par le theorem 3.

11.2 Indice des homéomorphismes conservatifs

L'énoncé suivant précise un résultat de Pelikan et Slaminka ([10], voir aussi Le Calvez [5], Simon [13], Nikisin [9]).

Corollaire 11.3. Soit h_0 un homéomorphisme d'une surface orientable S , préservant l'orientation, et x_0 un point fixe isolé de h_0 . Supposons que h_0 preserve une mesure μ_0 qui charge les ouverts, et qui est finie sur un voisinage de x_0 . Si de plus l'indice du point fixe est différent de 1, alors

1. Le module de h_0 en x_0 est pair;
2. L'indice par quarts-de-tour de h_0 en x_0 est périodique de période 4,

$$M(h_0; x_0) = (n! \# \dots) ;$$

3. L'indice de Poincaré-Lefschetz du point x_0 est égal à $1 - \frac{\text{Module}(h)}{2}$.

En particulier, l'indice est toujours inférieur ou égal à 1.

Preuve | On commence par se ramener au cadre de l'article en appliquant les propositions 1.1 et 1.2, qui nous fournissent un homéomorphisme h du plan, fixant uniquement le point 0, et qui est localement conjugué à h_0 . De plus, la mesure μ_0 se relève en une mesure μ , invariante par h , qui charge les ouverts et est finie sur un voisinage V du point fixe 0.¹¹ Considérons les ensembles stables

$$W_{loc}^s(0) := \{x \in \mathbb{R}^2 \mid \exists n \geq 0; h^n(x) \in V\}$$

et

$$W^s(0) := \{x \in \mathbb{R}^2 \mid \exists j \geq 1; h^j(x) = f_0 g\}$$

Puisque tout point possède un voisinage errant, et que la mesure de V est finie, la mesure de $W_{loc}^s(0)$ est nulle. Comme l'ensemble limite de tout point est réduit à 0 ou 1, on a

$$W^s(0) = \bigcup_{p \geq 0} h^p(W_{loc}^s(0)) :$$

On en déduit que l'ensemble $W^s(0)$ est aussi de mesure nulle.

Montrons alors par l'absurde que l'indice $M(h)$ ne contient pas la séquence $(n!)$. Dans le cas contraire, le theorem 5 nous fournit un ouvert U inclus dans l'ensemble $W^s(0)$. Comme la mesure charge les ouverts, on a une contradiction.

¹¹ Soit p l'application fournie par la proposition 1.1; alors pour tout disque topologique D sur lequel p est injective, on a $p(D) = \mu_0(p(D))$. Cette propriété caractérise la mesure μ .

On montre de la même manière que $M(h)$ ne contient aucune des séquences $(! \ ")$, $(\# !)$, $(\ #)$. On en déduit que le mot $M(h)$ est obtenu en concaténant un certain nombre de copies de la séquence $(! \ #)$. En particulier, il est périodique de période 4. Comme sa longueur est le double du module, le module de h est pair. Le théorème 4 donne alors

$$\text{Indice}(h;0) = \text{Indice}(M(h)) = 1 + \frac{\text{Module}(h)}{2} \quad \text{IP}_c((! \ #)) = 1 - \frac{\text{Module}(h)}{2} :$$

12 Croissants et pétales

Dans cette section, nous expliquons comment on peut lire sur l'indice par quarts-de-tour l'existence d'un certain nombre de droites de Brouwer. Ceci précise le théorème principal du texte [7] (théorème D, p31).

12.1 Croissants

Rappelons qu'une droite de Brouwer pour h est une droite topologique qui va de 0 à 1 et qui est disjointe de son image par h (voir la note 9 à la section 7.2). La théorie de Brouwer permet notamment de voir qu'une telle droite est disjointe de tous ses itérés (voir [7], affirmation 3.25, p42).

Proposition 12.1. On reprend les notations du théorème 1. Pour chaque entier k entre 1 et d , il existe une droite de Brouwer e_k , d'extrémités 0 et 1, contenue dans l'ouvert $O(F_k;G_k)$. De plus, la leçon m_{2k} est égale à $!$ si et seulement si on a l'ordre cyclique

$$h^{-1}(k) < k < h(k) < h^{-1}(k) :$$

Preuve | Il suffit de poser $e_k = (e_k)$, où e_k est la droite de Brouwer pour h obtenue à la section 9. Comme e_k est libre, et que h projette les arcs libres pour h en des arcs, la courbe e_k est sans point double. Comme elle est sans point double et incluse dans une décomposition en briques F , elle est proprement plongée : c'est donc une droite topologique. Puisqu'elle est transverse à la courbe de Jordan $G = ()$, elle va de 0 à 1. Comme c'est la projection d'une droite libre, et que h projette les arcs libres pour h en des arcs libres, elle est encore libre : c'est donc une droite de Brouwer. Il reste à comprendre le lien avec l'indice par quarts-de-tour : or nous avons déjà vu que $m_{2k} = !$ si et seulement si $h(e_k)$ est située à droite de e_k (voir la section 9, preuve du théorème 4). Ceci implique la fin de la proposition.

12.2 Pétales

Rappelons qu'un pétale attractif basé en 0 est un disque topologique fermé P du plan, qui contient le point 0 dans son bord, et qui est un attracteur strict, au sens où $h(P) \subset \text{Int}(P)$ [f0g]. On définit de manière analogue les pétales répulsifs basés en 0, et les pétales attractifs ou répulsifs basés en l'infini. Par définition, le bord d'un pétale basé en 0 (resp. l'infini) est une droite de Brouwer d'extrémités 0 (resp. 1). La proposition suivante est illustrée sur la figure 14.

Proposition 12.2. Soit k un entier modulo d . Supposons que le sous-mot $(m_{2k} m_{2k+1} m_{2k+2})$ du mot cyclique $M(h)$ soit égal à $(! \ ")$. Alors il existe un pétale attractif P_k basé en 0. De plus, on peut choisir P_k et les droites de Brouwer de la proposition 12.1 pour avoir

$$P_k \cap O(k; k+1) [f0g :$$

On peut également choisir le pétale P_k inclus dans un voisinage donné de 0.

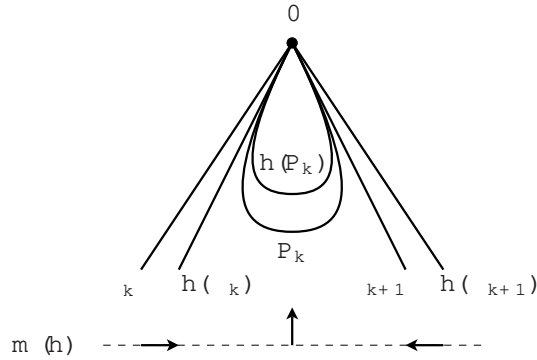


Fig. 14 { Petales et croissants

Bien sûr, on a un résultat analogue pour les autres types de petales, qui sont induits par les séquences $(\# !)$, $(! \#)$ et $(\# ?)$. En corollaire, on trouve une nouvelle démonstration de la version topologique du théorème de la leur de Leau-Fatou (théorème A de [7]) : si l'indice de Poincaré-Lefschetz du point x_e est $p + 1 > 1$, la formule reliant l'indice à l'indice par quarts-de-tour permet de voir qu'on a trouvé au moins $2p$ croissants alternativement attractifs et repulsifs autour du point x_e (ceci nécessite un raisonnement combinatoire tout à fait analogue à la preuve du théorème F du texte [7] (p81)).

Preuve | On se donne une décomposition en briques F géodésique pour h (lemme 6.2). On peut choisir les droites $\gamma_k; \gamma_{k+1}$ incluses dans F . Elles délimitent alors ce qu'on a appelé un croissant attractif simplicial dans le texte [7]. Comme la décomposition est géodésique, il existe une brique B_k qui traverse le croissant (i.e. elle rencontre γ_k et γ_{k+1}); de plus, la échelle $m_{2k+1} = "$ indique que $h(B_k)$ est au-dessus de B_k dans le croissant. Comme à la section 8, on considère le plus petit ensemble $A^+(B_k)$ qui contient B_k , qui est réunion de briques et qui est un attracteur strict. Il existe une unique composante connexe γ_k^0 du bord de $A^+(B_k)$ qui rencontre B_k . On montre facilement que γ_k^0 est une droite de Brouwer d'extrémités 0, et qu'elle délimite un petale attractif P_k base en 0 et inclus dans le croissant fermé délimité par γ_k et γ_{k+1} . Le lemme 5.1 de [7] (p104) dit que tout petale attractif simplicial contient des petales attractifs arbitrairement petits, ce qui explique la dernière phrase de la proposition. En fin, si P_k est un petale attractif base en 0 et inclus dans le croissant fermé délimité par γ_k et γ_{k+1} , alors l'ensemble $h(P_k)$ est encore un petale, et est inclus dans $O(\gamma_k; \gamma_{k+1})$ [f0g.

13 Autres propriétés

13.1 Orbites à rebrousse-poils des secteurs indifférents

Proposition 13.1. Supposons que le mot $M(h)$ contienne deux échelles verticales successives du même type,

$$(m_{2k} \ m_{2k+1} \ m_{2k+2}) = (\# ? \#)$$

où le point d'interrogation désigne n'importe laquelle des deux échelles ! ou $\#$. Alors l'ouvert $O(F_k; G_k)$ contient un point z dont la dynamique est inverse de celle indiquée par les échelles :

$$(z) = 1 \notin (\# ? \#); \quad ! (z) = 0 \notin ! (\# ? \#):$$

Bien sûr, on a un résultat analogue pour les mots $(\# ? \#)$.

Preuve | Nous allons utiliser le lemme 9.5 de l'article [8], dont voici l'énoncé adapté à notre contexte.

Lemme 13.2. Supposons que pour tout voisinage V_1 de l'infini dans la sphere $R^2 \setminus \{0\}$, et pour tout voisinage V_0 de 0, il existe un entier positif n et un point x_1 de $O(F_k; G_k)$ tel que $x_1 \in V_1$ et $h^n(x_1) \in V_0$. Alors l'adhérence de $O(F_k; G_k)$ contient un point de $W_{1;0}$.

Verifions tout d'abord les hypotheses du lemme. On se donne un voisinage V_1 de l'infini et un voisinage V_0 de 0. Par definition des branches verticales, les bords F_k et G_k sont tous les deux de type dynamique $0 \neq 1$. En particulier, on peut trouver un point x dans F_k et un point y dans G_k , tels que x et y sont tous les deux dans l'ensemble $W_{0;1}$. Quitte a remplacer x par l'un de ses iteres positifs, on peut supposer que $x \in V_1$; de meme, quitte a remplacer y par l'un de ses iteres negatifs, on peut supposer que $y \in V_0$. Par definition des composantes de Reeb, le couple $(x; y)$ est singulier via l'ouvert $O(F_k; G_k)$: en particulier, il existe un point x_1 verifiant les hypotheses du lemme.

On en conclut que l'adhérence de $O(F_k; G_k)$ contient un point z de $W_{1;0}$. D'apres la proposition 2.5 et la definition des branches verticales, les bords $F_k; G_k$ ne contiennent aucun point allant de 1 a 0; par consequent, le point z appartient a

$$\text{Adh}(O(F_k; G_k)) \cap (F_k \cup G_k) = O(F_k; G_k);$$

ce que l'on voulait.

13.2 Une conjecture concernant les branches stables et instables

Definition 13.3. On appelle branche heterocline une partie b de $R^2 \setminus \{0\}$ qui est une composante connexe de l'ensemble $W_{0;1}$ ou de l'ensemble $W_{1;0}$, et qui est invariante par h .

Conjecture. Notons d le module de h . Alors il existe exactement d branches heteroclines

$$b_1; \dots; b_d;$$

On peut choisir l'indexation pour que la branche b_k rencontre les bords G_k et F_{k+1} des composantes de Reeb. La dynamique dans b_k est alors donnee par le mot $M(h)$:

$$b_k \cap W_{0;1} \text{ si et seulement si } \text{sim}_{2k+1} = \#;$$

$$b_k \cap W_{1;0} \text{ si et seulement si } \text{sim}_{2k+1} = ";$$

Voici ce que l'on sait dans la direction de cette conjecture. Chaque bord de composante de Reeb rencontre une unique branche heterocline (proposition 2.5). Notons $b(F_k)$ la branche qui rencontre F_k . Supposons que le mot $M(h)$ contienne une sous-suite de branches alternativement " et #:

$$(m_{2k_0+1}; m_{2k_1+1}; \dots; m_{2k_p+1}) = ("; \#; \dots; \#)$$

avec $1 \leq k_0 < \dots < k_p$. Alors les branches correspondantes

$$b(F_{2k_0+1}); b(F_{2k_1+1}); \dots; b(F_{2k_p+1})$$

sont deux a deux disjointes. En effet, deux branches de types dynamiques distincts sont clairement disjointes; en utilisant la proposition 2.5, on voit que l'ensemble $F_{2k_0+1} \cup F_{2k_2+1}$ separe les ensembles $b(F_{2k_1+1})$ et $b(F_{2k_3+1})$ (si $p \geq 4$). D'autre part, en utilisant la formule d'indice, on montre facilement que le mot $M(h)$ contient une telle sous-suite, avec $p = 2j - \text{Indice}(h; 0) - 1$. On en deduit qu'il existe au moins $2j - \text{Indice}(h; 0) - 1$ branches heteroclines. Il resterait a montrer:

1. $b(G_k) = b(F_{k+1})$;

2. $b(F_k) \not\subset b(G_k)$;

3. toute branche heterocline rencontre un bord de composante de Reeb.

Le point 3 impliquerait qu'il n'existe qu'un nombre fini de branches heteroclines, ce qui n'est pas connu. Le plus difficile est probablement le point 2 (dans le cas ou les deux branches sont du meme type dynamique). Notons neanmoins que, dans le cas conservatif, ce point est trivial, puisque les types dynamiques des deux bords d'une composante de Reeb sont opposes (corollaire 11.3).

Cinquième partie

Appendices

A Points fixes d'indice 1

Dans cette section, nous considérons un homéomorphisme du plan, préservant l'orientation, ayant uniquement 0. Nous montrons que tous les résultats de l'article restent valables quand l'indice de Poincaré-Lefschetz du point fixe est égal à 1, à condition de supposer que le module de h (de \mathbb{N} ci-dessous) est assez grand.¹² Nous reprendrons implicitement la plupart des définitions données dans la section 2 en indice différent de 1, en explicitant seulement celles qui posent problème. En particulier, la section suivante contient une définition du module de h .

Comme dans le cadre du début de l'article, les exemples modèles sont obtenus en recollant un certain nombre de secteurs hyperboliques, elliptiques et indifférents (voir l'introduction, section 1.3). Si il y a autant de secteurs hyperboliques que de secteurs elliptiques, alors l'indice du modèle est égal à 1. D'autre part, le module est égal au nombre total de secteurs. On construit ainsi une infinité de modèles d'indice 1 et de modules supérieurs ou égaux à 4, qui auront des indices par quarts-de-tour deux à deux distincts.

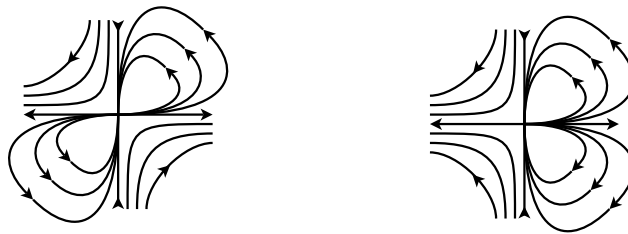


Fig. 15 { Deux modèles d'indice 1 et de module 4 (correspondant aux mots $(\# \# \# \#)$ et $(\# \# \# \#)$). Notons que le premier exemple ne vérifie pas la conclusion du lemme de Franks (il admet des chaînes de disques périodiques), contrairement au second.

A.1 Courbes de Jordan géodésiques

Lorsque l'indice de Poincaré-Lefschetz du point fixe est différent de 1, les notions de décomposition et de h -longueur d'une courbe fermée ont été définies à la section 2.4. On adopte les mêmes définitions lorsque l'indice est égal à 1. La caractérisation du module donnée (en indice différent de 1) par la première partie de la proposition 2.11 permet alors de généraliser la notion de module.

Définition A.1. Le module de h est le minimum des h -longueurs des courbes fermées de degré 1.

On reprend aussi la définition des courbes géodésiques. En recopiant la preuve de la deuxième partie de la proposition 2.11, (section 5), on obtient le résultat plus général suivant.

Proposition A.2. Soit h un homéomorphisme du plan, préservant l'orientation, ayant uniquement le point 0. Alors il existe une courbe de Jordan géodésique pour h .

A.2 Construction du relèvement canonique

Pour mener la construction en indice différent de 1, il nous faut maintenant établir l'existence d'un relèvement canonique de h , qui satisfasse les mêmes propriétés qu'avant. Ceci est l'objet de la présente section.

¹²L'hypothèse retenue est $\text{Module}(h) \geq 4$. En fait, avec un peu plus d'effort, on peut voir que la théorie marche encore en supposant seulement $\text{Module}(h) \geq 3$.

Rappelons que pour choisir un relèvement de h au revêtement universel, il suffit de choisir un point x et une courbe reliant x à $h(x)$: il existe alors un unique relèvement \tilde{h} de h tel que pour tout relèvement \tilde{x} de x , le relèvement issu de \tilde{x} a pour autre extrémité $\tilde{h}(\tilde{x})$; on dira alors que \tilde{h} est le relèvement associé à \tilde{x} . Les arcs de translation sont des cas particuliers de courbes reliant un point à son image.

Définition A.3. Un arc du plan est un arc de translation pour h (au point x) si il va de x à $h(x)$, et si $\tilde{h}(\tilde{x}) = \tilde{h}(x)g$.

Proposition A.4. Soit h un homéomorphisme du plan préservant l'orientation, fixant le point 0. On suppose que

$$\text{Module}(h) = 4:$$

Alors il existe un unique relèvement \tilde{h} de h par \tilde{h} , appelé relèvement canonique de h , pour lequel tout relèvement de tout arc de translation de h est un arc de translation de \tilde{h} . De plus,

1. L'image par \tilde{h} de tout arc libre pour \tilde{h} est un arc libre pour h ;
2. si F est une décomposition en briques pour h , alors $F^{\tilde{h}} := \tilde{h}^{-1}(F)$ est une décomposition en briques pour \tilde{h} ;
3. on a la formule d'indice

$$\text{Indice}(\tilde{h}) = \text{Indice}(h; 0) - 1:$$

Nous prouvons d'abord la première partie de l'énoncé, les propriétés 1 et 2 seront démontrées dans la section suivante, la propriété 3 sera obtenue seulement à la section A.4.

Preuve de la première partie de la proposition A.4 (structure) | Nous donnons d'abord la structure de la preuve, fondée sur trois affirmations. Nous démontrons ensuite les trois affirmations. La première étape de la preuve consiste à montrer qu'il existe des arcs de translation pour h .

Affirmation A.5. Pour tout point $x \neq 0$, il existe un arc de translation pour h au point x .

On peut maintenant choisir un point x_0 , un arc de translation au point x_0 , et appeler \tilde{h} le relèvement associé. Il s'agit ensuite de voir que tous les arcs de translation induisent le même relèvement. Nous fixons d'abord le point x_0 , et nous montrons que \tilde{h} ne dépend pas du choix de x_0 . Ceci revient à s'intéresser aux classes d'homotopie des arcs de translation, ce que fait la deuxième affirmation.

Affirmation A.6. Soient γ_1 et γ_2 deux arcs de translation tels que $\gamma_1(0) = \gamma_2(0)$ (et donc aussi $\gamma_1(1) = \gamma_2(1)$). Alors ces deux arcs sont homotopes, à extrémités fixées, dans $\mathbb{R}^2 \setminus \{0\}$.

Il reste en fait à vérifier que le relèvement \tilde{h} ne dépend pas non plus du choix du point x_0 . Par connexité de l'espace $\mathbb{R}^2 \setminus \{0\}$, il suffit de voir ceci localement. Ceci revient à construire, localement, une famille continue d'arcs de translation, et c'est l'objet de la dernière affirmation.

Affirmation A.7. Soit x_0 un point de $\mathbb{R}^2 \setminus \{0\}$. Il existe alors un voisinage V de x_0 , et une famille continue $(\gamma_x)_{x \in V}$ d'arcs tels que, pour tout point x de V , l'arc γ_x est un arc de translation au point x .

La continuité de la famille (γ_x) s'entend au sens de la topologie de la convergence uniforme sur l'espace des arcs. Ceci termine la preuve de la première partie de la proposition à partir des trois affirmations.

Nous aurons besoin du lemme suivant (qui est à rapprocher des techniques de la section 5).

Lemme A.8. Soit $\gamma : [0; 1] \rightarrow \mathbb{R}^2 \setminus \{0\}$ une courbe fermée. Si γ est de degré > 1 , alors il existe deux réels t_1, t_2 , $0 < t_1 < t_2 < 1$, tels que $[\gamma_{t_1}, \gamma_{t_2}]$ est une courbe fermée de degré 1. En particulier, la h -longueur de $[\gamma_{t_1}, \gamma_{t_2}]$ est supérieure ou égale au module de h .

En réalité, on pourra montrer (a posteriori) que la h -longueur de $[\gamma_{t_1}, \gamma_{t_2}]$ est minime par le module de h multiplié par la valeur absolue du degré de $[\gamma_{t_1}, \gamma_{t_2}]$.

Preuve du lemme | Soit $\gamma : [0; 1] \rightarrow \mathbb{R}^2$ une courbe du plan qui relève γ . Notons $k > 1$ le degré de γ ; par hypothèse, on a $e(1) = k e(0)$. Or si γ ne rencontrait pas e , alors aucun des itérés de γ par e ne rencontrerait e (on peut voir ceci comme une conséquence du lemme de Franks appliqué à la translation e). On en déduit le résultat.

Nous prouvons maintenant les trois affirmations.

Preuve de l'affirmation A.5 | Soit $x \notin 0$, on cherche un arc de translation au point x . On va réutiliser une construction classique des arcs de translation pour les homéomorphismes de Brouwer. Quitte à conjuguer, on peut supposer que le point x est plus proche de son image par h que du point $x \neq 0$ (pour la distance euclidienne). On considère maintenant un disque euclidien D , centre en x , de rayon r . Si r est assez petit, le disque est libre (disjoint de son image); si r est égal à la distance de x à $h(x)$, il ne l'est plus; on peut donc choisir pour r la plus petite valeur pour laquelle D n'est pas libre. Le disque D ne contient pas le point $x \neq 0$, et est un disque critique, c'est-à-dire qu'il vérifie

- { D n'est pas libre,
- { l'intérieur de D est libre.

Il existe donc un point y sur le bord du disque D dont l'image $h(y)$ est aussi sur le bord de D . On définit les segments euclidiens γ_1 reliant y à x , et γ_2 reliant x à $h(y)$, et on considère l'arc obtenu en concaténant γ_1 et γ_2 , arc qui va de y à son image $h(y)$.

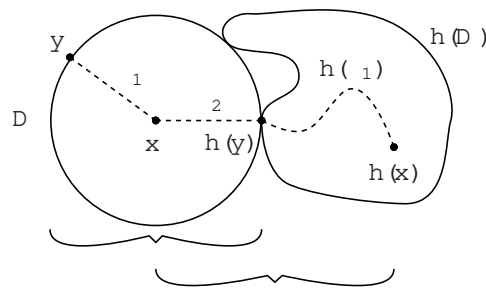


Fig. 16 Construction d'un arc de translation

Soit A la courbe infinie obtenue en concaténant tous les itérés de γ :

$$A = \gamma \cup h(\gamma) \cup h^2(\gamma) \cup \dots$$

Voici l'idée de la fin de la preuve. Supposons que cette courbe infinie A ait un point double, elle contient alors une courbe de Jordan J . A l'aide de la théorie de Brouwer, on va montrer que la courbe J doit entourer le point $x \neq 0$; mais alors, si le module de h est assez grand, J doit contenir un segment d'itérés de l'arc "presque libre" γ ; et l'arc $\gamma \cup h(\gamma)$ sera un arc de translation au point x .¹³

Realisons cette idée. Soit \mathbb{H} l'homéomorphisme relève de h associé à l'arc γ . On considère un disque topologique \mathbb{D} , composante connexe de $\mathbb{H}^{-1}(\mathbb{D})$; on note φ et e les relevés respectifs de y et x inclus dans \mathbb{D} . Le disque \mathbb{D} est un disque critique pour \mathbb{H} . Comme \mathbb{H} n'a pas de point fixe, on dispose du lemme de Franks (voir par exemple [7], paragraphe 3.2.B p35) : notamment, \mathbb{H} n'a pas de point périodique, et en particulier les itérés du point φ sont tous distincts; et tout disque topologique (ouvert) libre est disjoint de ses itérés, et en particulier les itérés de l'intérieur du disque \mathbb{D} sont deux à deux disjoints. On en déduit que la courbe infinie \mathbb{H} obtenue en concaténant les itérés de e est une courbe sans point double.

On définit maintenant la courbe $\gamma = \gamma \cup h(\gamma)$. On voit facilement que cette courbe est un arc (elle est sans point double), qui va de x à $h(x)$. Montrons qu'il s'agit d'un arc de translation pour h . Ceci revient à montrer que la courbe $\gamma \cup h(\gamma)$ est une courbe simple. Donnons-nous un paramétrage de cette courbe par l'intervalle $[0;1]$, qui envoie respectivement les intervalles

$$0; \frac{1}{4} ; \frac{1}{4}; \frac{2}{4} ; \frac{2}{4}; \frac{3}{4} ; \frac{3}{4}; \frac{4}{4} ;$$

¹³En réalité, on peut montrer que l'hypothèse de module entraîne même que A est une courbe sans point double (nous n'utiliserons pas ceci).

sur les courbes $\gamma_2, h(\gamma_1), h(\gamma_2), h^2(\gamma_1)$. Les arcs γ_2 et $h^2(\gamma_1)$ sont libres; il existe donc deux réels t_1 et t_2 , vérifiant

$$\frac{1}{4} < t_1 < t_2 < \frac{3}{4}$$

tels que les courbes $[0; t_1]_{\gamma_h(\cdot)}$ et $[t_2; 1]_{\gamma_h(\cdot)}$ sont encore libres. D'autre part, la courbe $[t_1; t_2]_{\gamma_h(\cdot)}$ est libre car elle est incluse dans l'intérieur du disque $h(D)$. La courbe $\gamma_h(\cdot)$ s'écrit donc comme la concatenation de trois courbes libres : sa h -longueur est supérieure ou égale à 3.

D'autre part, remarquons que les courbes

$$[0; \frac{3}{4}]_{\gamma_h(\cdot)} = \gamma_2 \circ h(\gamma_1) \circ h(\gamma_2) = \text{et } [\frac{1}{4}; 1]_{\gamma_h(\cdot)} = h(\gamma_1) \circ h(\gamma_2) \circ h^2(\gamma_1)$$

sont sans point double (découvent de la liberté de l'intérieur du disque D).

Supposons maintenant, par l'absurde, que la courbe $\gamma_h(\cdot)$ possède un point double : il existe deux réels s_1 et s_2 , vérifiant $0 < s_1 < s_2 < 1$, tels que la courbe $J = [s_1; s_2]_{\gamma_h(\cdot)}$ est une courbe fermée. D'après la remarque précédente, on a nécessairement $s_1 < \frac{1}{4}$ et $\frac{3}{4} < s_2$. En choisissant une telle courbe J minimale, on peut supposer que J est une courbe de Jordan. Le degré de J dans $\mathbb{R}^2 \setminus \{0\}$ vaut alors ± 1 , 0 ou ± 2 . Ce degré ne peut pas être nul, car J est inclus dans la courbe infinie dont un relevé \tilde{A} est sans point double. Quitte à changer le sens de parcours de J , on peut supposer qu'elle est de degré 1. D'autre part, la h -longueur de J est inférieure ou égale à trois puisque J est une sous-courbe de la courbe $\gamma_h(\cdot)$. Ceci contredit l'hypothèse que le module de h est supérieur ou égal à quatre.

Nous en proposons pour énoncer un corollaire utile.

Corollaire A.9. h n'a pas de point périodique de période 2.

Preuve | D'après la définition des arcs de translation, si x était un point de période 2, alors il n'existerait pas d'arc de translation au point x , contrairement à ce qu'on vient de montrer.

Preuve de l'affirmation A.6 | Soit la courbe obtenue en concaténant γ_1 et l'arc γ_2 parcouru en sens contraire. Les arcs γ_1 et γ_2 sont homotopes si et seulement si la courbe est de degré nul dans $\mathbb{R}^2 \setminus \{0\}$. Dans le cas contraire, la h -longueur de γ devrait être supérieure ou égale au module de h (lemme A.8). Or on voit facilement que la h -longueur de γ est inférieure ou égale à trois. Ceci prouve l'affirmation.

Preuve de l'affirmation A.7 | Il s'agit simplement de généraliser la construction de la preuve de la première affirmation. On note maintenant D le disque critique centré au point x_0 , et y un point du bord de D dont l'image $h(y)$ est aussi sur le bord de D . Pour tout point x de D , on définit les segments γ_1^x reliant y à x , et γ_2^x reliant x à $h(x)$, et on considère l'arc $\gamma^x = \gamma_1^x \circ \gamma_2^x \circ h(\gamma_1^x)$. On montre, à l'aide des arguments utilisés dans la première affirmation, que γ^x est un arc de translation au point x . D'autre part, l'application $x \mapsto \gamma^x$ est clairement continue. La preuve est terminée.

A.3 Propriétés et conséquences dynamiques

Dans cette section, nous commençons par démontrer la propriété 1 et de la proposition A.4, puis nous en déduisons quelques conséquences dynamiques (notamment, l'érrance des points). Le relèvement des décompositions en briques (propriété 2 de la proposition) ne pose pas de problème, le lecteur peut se référer à [7], preuve du troisième point de la proposition 4.17, p98. Pour obtenir la formule d'indice (troisième point de la proposition), il faut d'abord obtenir une droite de Brouwer pour h ; la preuve de cette formule est donc repoussée à la section A.4.

Arcs libres, decompositions

Preuve de la première propriété de la proposition A.4 | On se place sous les hypothèses de la proposition. Soit γ un arc libre pour f , il s'agit de voir que γ est libre, et est sans point double. Si γ n'était pas libre, il contiendrait une courbe joignant un point x à son image $h(x)$, donc également un arc joignant un point à son image; on trouverait facilement un sous-arc de γ joignant un point à son image, et minimum pour cette propriété, autrement dit tel que l'intérieur de γ est libre. Comme h n'a pas de point de période 2 (corollaire A.9), on en déduirait que γ est un arc de translation. D'autre part, γ a un relèvement inclus dans $\tilde{\gamma}$, ce relèvement est donc libre, ce n'est pas un arc de translation, et ceci contredit la définition du relèvement canonique.

La courbe γ est donc libre. Si elle avait un point double, elle contiendrait une courbe de Jordan, qui ne pourrait pas être de degré 0 puisque son relèvement n'est pas une courbe fermée; on aurait donc une courbe de Jordan de degré 1, libre, ce qui contredirait l'hypothèse sur le module de h . Finalement, γ est bien un arc libre.

Liberté et errance

Sous l'hypothèse que le module de h est plus grand que 4, nous allons montrer que la dynamique de h ressemble à celle du cas où le point fixe est d'indice différent de 1.

Considérons un homéomorphisme H d'une surface. Un ensemble E est libre pour H si il est disjoint de son image $H(E)$. Suivant Morton Brown ([1]), on dira que H est libre si tout disque topologique fermé D qui est libre est encore disjoint de tous ses itérés $H^n(D)$, $n \in \mathbb{Z}$. Les orbites d'un homéomorphisme libre sont particulièrement simple: en effet, tout point x qui n'est pas fixe possède un voisinage D qui est un disque topologique fermé libre. Le disque D est alors disjoint de tous ses itérés, par conséquent le point x est errant (par définition). Si les points fixes de H sont isolés, on en déduit que l'orbite positive de x tend vers un point fixe de H ou bien sort de tout compact.

Corollaire A.10. Sous les hypothèses de la proposition A.4, l'homéomorphisme h est libre. En particulier, tout point est errant, et l'orbite positive (ou négative) d'un point du plan tend vers 0 ou vers le point à l'infini.

Preuve du corollaire A.10 | Soit D un disque topologique libre pour h . Soit \mathcal{D} une composante connexe de D^1 : c'est aussi un disque topologique. La propriété 1 du relèvement canonique entraîne que ce disque \mathcal{D} est libre pour f . Supposons que le disque D rencontre un itéré $h^n(D)$, alors il existe un entier k tel que $h^k(\mathcal{D})$ rencontre $f^n(\mathcal{D})$. L'homéomorphisme f est un homéomorphisme de Brouwer, il est donc libre, par conséquent le disque \mathcal{D} , qui est libre, est disjoint de tous ses itérés par f ; donc $k \neq 0$. La théorie de Brouwer nous dit que \mathcal{D} est inclus dans un domaine de translation; ce domaine est invariant, il rencontre donc $h^k(\mathcal{D})$, et en particulier il existe un arc libre e qui va d'un point de \mathcal{D} à un point de $h^k(\mathcal{D})$. On peut prolonger cet arc par un second arc libre e' , inclus dans $h^k(\mathcal{D})$, de manière à obtenir une courbe $\mathcal{F} = e \cup e'$ qui va d'un point a au point $h^k(a)$. Puisque \mathcal{F} rencontre $h^k(\mathcal{F})$, elle doit aussi rencontrer $f(\mathcal{F})$ (f est un homéomorphisme de Brouwer, il est donc libre): quitte à raccourcir \mathcal{F} , on peut alors supposer que $k = 1$. La courbe projetée $J = f(\mathcal{F})$ est une courbe fermée de degré 1 composée des deux arcs e et e' , qui sont libres d'après le premier point. Ceci contredit l'hypothèse sur le module de h .

A l'aide des décompositions en briques, on montrera facilement que tout point de $\mathbb{R}^2 \setminus \{0\}$ est dans un domaine de translation pour h (ce qui permet de récupérer la définition originelle du module de h , définition 2.1). Ce résultat peut aussi être vu comme une conséquence de la liberté de h , via un théorème de Slaminka (voir [14], et aussi l'article de Guillou [4]).

A.4 Résultats

Dans cette section, nous expliquons pourquoi les preuves des résultats énoncés dans la section 2 fonctionnent encore en indice 1, en module plus grand que 4.

Theorem e 6. Dans tous les enonces des sections 2, 11, 12 et 13, on peut rem placer l'hypothese
 < l'indice de Poincare-Lefschetz du point x est different de 1 >
 par l'hypothese

< le module de h est superieur ou egal a 4 >.

Ceci concerne notamment les theorem es 1, 2, 3, 4, 5, les propositions 2.5, 2.7 et le corollaire 11.3.

Preuve | Nous expliquons rapidement comment adapter les preuves de ja exposees en detail quand l'indice etait suppose different de 1. Le principal changement est le suivant : la formule reliant l'indice de h a celui de son releve canonique est obtenue plus tard (troisieme etape ci-dessous).

Pre miere etape On montre que les resultats du corollaire 3.5 sont verites : si \tilde{h} est une courbe de Jordan geodesique (fournie par la proposition A.2), alors la droite topologique qui releve \tilde{h} est une droite geodesique. En e et, la preuve de la section 7.2 utilisait seulement la correspondance entre les arcs libres de \tilde{h} et ceux de h , et la minoration du module : la pre miere propriete est encore verite d'apres la proposition A.4, et la seconde l'est par hypothese. On note encore [] la classe d'equivalence de la droite \tilde{h} .

Deuxieme etape Comme a la section 3.3, on peut alors considerer les composantes de Reeb et le mot cyclique associes a []. On peut recopier mot pour mot la preuve du theorem e 4-bis (section 9), et on obtient la conclusion de ce theorem e, a savoir la formule d'indice pour le releve canonique \tilde{h} .

Troisieme etape Nous pouvons maintenant prouver la formule qui nous manquait, qui relie l'indice de h et celui de \tilde{h} (troisieme point de la proposition A.4). En e et, l'etape precedente a produit des droites de Brouwer e_k pour \tilde{h} , et on voit facilement que ces droites se projettent en des droites de Brouwer e_k pour h qui vont de 0 a 1 (voir par exemple la preuve de la proposition 12.1). On peut alors appliquer le lemme 7.4, qui donne la formule voulue.

Fin On peut maintenant recopier tout le reste des preuves : la compatibilite entre les composantes de Reeb (section 10), puis les preuves des theorem es (section 4).

B Ordre cyclique

B.1 Parties du plan

On se donne trois parties connexes A, B et C du plan. Si l'ensemble A est disjoint de B , il est inclus dans une composante connexe du complementaire de B ; on notera $O_A(B)$ cette composante. Remarquons que l'adherence de $O_A(B)$ rencontre B , et, en particulier, l'ensemble $O_A(B) \cap B$ est connexe.

Definition B.1. On dit que B separe A et C si les trois ensembles A, B et C sont deux a deux disjoints, et si les composantes $O_A(B)$ et $O_C(B)$ sont distinctes (et donc disjointes). On ecrit alors

$$A < B < C :$$

On montre facilement une propriete d'antisymetrie : si B separe A et C , alors A ne separe pas B et C , autrement dit

$$\text{si } A < B < C \text{ alors on n'a pas } B < A < C :$$

On en deduit une propriete de transitivite : si $A; B; C; D$ sont des parties connexes deux a deux disjointes,

$$\text{si } A < B < C \text{ et } B < C < D \text{ alors } A < B < D \text{ et } A < C < D :$$

Comme avant, on généralise ceci à un nombre quelconque de bonnes parties : $A_1 < A_2 < \dots < A_k < A_1$ si on peut choisir des relevés tels que $\mathbb{A}_1 < \mathbb{A}_2 < \dots < \mathbb{A}_k < \mathbb{A}_1$ (ou $\mathbb{A}_1 < \mathbb{A}_2 < \dots < \mathbb{A}_k < \mathbb{A}_1$). On définit les relations $A < B \iff C < A$ de manière analogue.

On considère maintenant des parties fermées et connexes du plan $\mathbb{R}^2 \setminus \{0\}$, telles que $\hat{F} := F \cup \{0\}$ soit encore connexe. On les appellera des bonnes parties. On peut encore définir les ouverts entre F et G , via le lemme suivant.

Lemme B.6. Soient F et G deux bonnes parties de $\mathbb{R}^2 \setminus \{0\}$, disjointes. Il existe alors exactement deux composantes connexes $O(F;G)$ et $O(G;F)$ du complémentaire de $\hat{F} \cup \hat{G}$ dont l'adhérence rencontre à la fois F et G . De plus, on peut choisir les notations pour qu'on ait

$$F < O(F;G) < G < O(G;F) < F :$$

Voici une esquisse de démonstration. On peut construire un disque topologique fermé D dans la sphère $\mathbb{R}^2 \setminus \{1\}$, qui contient F , et qui est disjoint de G (le bord de D passe par 0 et 1). Soit \mathbb{F} un relevé de F . Au moyen du disque D , on montre que \mathbb{F} est disjoint de \mathbb{G} , et que

$$O(\mathbb{F};\mathbb{G}) < \mathbb{F} < \mathbb{G} :$$

De plus, il existe un relevé \mathbb{G} de G tel que

$$\mathbb{F} < \mathbb{G} < \mathbb{F} < \mathbb{G} :$$

On considère alors les ouverts $O(\mathbb{F};\mathbb{G})$ et $O(\mathbb{G};\mathbb{F})$ (définition B.3). En projetant ces deux ouverts sur $\mathbb{R}^2 \setminus \{0\}$, on obtient les ensembles $O(F;G)$ et $O(G;F)$ vérifiant les propriétés requises.

Références

- [1] M. Brown, Homomorphisms of two-dimensional manifolds, Houston J. Math. 11 (1985), no. 4, 455{469.
- [2] M. Brown, Fundamental regions of planar homomorphisms. Continuum theory and dynamical systems (Arcata, CA, 1989), 49{56, Contemporary Math., 117, Amer. Math. Soc., Providence, RI, 1991.
- [3] M. Brown, E.E. Sloninka and W. Tansue, An orientation preserving fixed point free homomorphism of the plane which admits no closed invariant line. Topology Appl. 29 (1988), no. 3, 213{217.
- [4] L. Guillou, A generalized translation theorem for free homomorphisms of surfaces, Proc. Amer. Math. Soc. 123 (1995), no. 10, 3243{3250.
- [5] P. Le Calvez, Une propriété dynamique des homomorphismes du plan au voisinage d'un point fixe d'indice > 1 , Topology 38 (1999), no. 1, 23{35.
- [6] P. Le Calvez et A. Sauzet, Une démonstration dynamique du théorème de translation de Brouwer, Exposition Math. 14 (1996), no. 3, 277{287.
- [7] F. Le Roux, Homomorphismes de surfaces : théorèmes de la leur de Leau-Fatou et de la variété stable. Astérisque No. 292 (2004).
- [8] F. Le Roux, Invariants combinatoires des homomorphismes de surface (I) Structure des homomorphismes de Brouwer. Prepublication d'Orsay 2003-34, et arXiv DS/0403406.
- [9] N.A. Nikisin, Fixed points of the diffeomorphisms of the two-sphere that preserve oriented area Funktsional. Anal. i Prilozhen. 8 (1974), no. 1, 84{85.
- [10] S. Pelikan and E.E. Sloninka, A bound for the fixed point index of area-preserving homomorphisms of two-manifolds. Ergodic Theory Dynam. Systems 7 (1987), no. 3, 463{479.
- [11] F.R. Ruiz del Portal and J.M. Salazar, Optimal stable/unstable manifold and Leau-Fatou petals theorems for planar homomorphisms. En préparation.
- [12] A. Sauzet, Application des décompositions libres à l'étude des homomorphismes de surfaces, Thèse, Université Paris Nord, 2001.
- [13] C.P. Simon, A bound for the fixed-point index of an area-preserving map with applications to mechanics. Invent. Math. 26 (1974), 187{200.
- [14] E.E. Sloninka, A Brouwer translation theorem for free homomorphisms, Trans. Amer. Math. Soc. 306 (1988), no. 1, 277{291.